

بِسْمِ اللَّهِ الرَّحْمَنِ الرَّحِيمِ



## دانشکده مهندسی عمران

رشته عمران گرایش سازه‌های دریایی  
پایان‌نامه کارشناسی ارشد

مطالعه‌ی عددی بررسی عوامل مؤثر روی سرعت جریان شکافنده  
(مطالعه عددی: سواحل انزلي)

نگارنده: لیلا همتی

استاد راهنمای:  
دکتر مهدی عجمی

استاد مشاور:  
مهندس میثم بالی

تیر ۱۳۹۵

ج

## تقدیم‌نامه

تقدیم به پدر مهربانم

## سپاس‌گزاری

نخستین سپاس و ستایش از آن خداوندی است که بنده کوچکش را در دریای بیکران اندیشه، قطره‌ای ساخت تا وسعت آن را از دریچه اندیشه‌های ناب آموزگارانی بزرگ به تماشا نشیند. لذا اکنون که در سایه‌سار بنده‌نوازی‌ها یش پایان‌نامه حاضر به انجام رسیده است، بر خود لازم می‌دانم تا مراتب سپاس را از بزرگوارانی به جا آورم که اگر دست یاریگرshan نبود، هرگز این پایان‌نامه به انجام نمی‌رسید.

به مصدق «من لم يشكر المخلوق لم يشكر الخالق» بسی شایسته است از استاد فرهیخته و فرزانه جناب آقای دکتر عجمی که از هیچ کمکی در این عرصه بر من دریغ ننمودند و زحمت راهنمایی این رساله را بر عهده گرفتند، تقدیر و تشکر نمایم.

با تقدیر و درود فراوان از اساتید بزرگوار جناب آقای دکتر احمدی و جناب آقای دکتر عابدینی که زحمت داوری این پایان‌نامه را متقبل شدند؛ و با تشکر خالصانه خدمت همه کسانی که به نوعی مرا در به انجام رساندن این مهم یاری نموده‌اند؛ باشد که این خردترین، بخشی از زحمات آنان را سپاس گوید.

## تعهد نامه

اینجانب لیلا همتی دانشجوی دوره کارشناسی ارشد رشته مهندسی عمران - گرایش سازه های

دریایی دانشکده مهندسی عمران نویسنده پایان نامه مطالعه‌ی عددی بررسی عوامل مؤثر روی

سرعت جریان شکافنده (مطالعه عددی: سواحل ازلی) تحت راهنمایی دکتر مهدی عجمی متعهد می

شوم.

- تحقیقات در این پایان نامه توسط اینجانب انجام شده است و از صحت و اصالت برخوردار است.
- در استفاده از نتایج پژوهش‌های محققان دیگر به مرجع مورد استفاده استناد شده است.
- مطلوب مندرج در پایان نامه تاکنون توسط خود یا فرد دیگری برای دریافت هیچ نوع مدرک یا امتیازی در هیچ جا ارائه نشده است.
- کلیه حقوق معنوی این اثر متعلق به دانشگاه صنعتی شاهروド می باشد و مقالات مستخرج با نام «دانشگاه صنعتی شاهرود» و یا «Shahrood University of Technology» به چاپ خواهد رسید.
- حقوق معنوی تمام افرادی که در به دست آمدن نتایج اصلی پایان نامه تأثیرگذار بوده اند در مقالات مستخرج از پایان نامه رعایت می گردد.
- در کلیه مراحل انجام این پایان نامه ، در مواردی که از موجود زنده ( یا بافت‌های آنها ) استفاده شده است ضوابط و اصول اخلاقی رعایت شده است.
- در کلیه مراحل انجام این پایان نامه، در مواردی که به حوزه اطلاعات شخصی افراد دسترسی یافته یا استفاده شده است اصل رازداری ، ضوابط و اصول اخلاق انسانی رعایت شده است

### تاریخ

### امضای دانشجو

## مالکیت نتایج و حق نشر

- کلیه حقوق معنوی این اثر و محصولات آن (مقالات مستخرج، کتاب، برنامه های رایانه ای، نرم افزار ها و تجهیزات ساخته شده است ) متعلق به دانشگاه صنعتی شاهرود می باشد. این مطلب باید به نحو مقتضی در تولیدات علمی مربوطه ذکر شود.
- استفاده از اطلاعات و نتایج موجود در پایان نامه بدون ذکر مرجع مجاز نمی باشد.

## چکیده

امواج دریا با حرکت به سمت ساحل همواره حجم زیادی از آب را به طرف خشکی منتقل می‌کنند. این حجم وسیع از آب می‌باید دوباره به داخل دریا برگردد و برای این منظور در نقاطی از ساحل، به صورت تقریباً غیرقابل پیش‌بینی، درون آب دریا آبراهه‌هایی به طرف دریا ایجاد می‌شود که در آن آب با سرعت زیادی برخلاف جهت امواج (یعنی از سمت ساحل به سمت دریا) جریان می‌یابد. این جریان‌ها کاملاً از امواج آب متفاوت بوده و به آن‌ها جریان‌های ساحلی، جریان‌های شکافنده (Rip currents) و یا جریان‌های مرگبار گفته می‌شود که به دلایل متفاوتی ایجاد می‌شود، اما نکته مشترک در همهٔ موارد یک‌چیز است و آن، شکست موج و حرکت آن به سوی دریا از نقطه‌ایی که ارتفاع آب بیشتر است به سوی نقطه‌ایی که ارتفاع کمتر است تا این‌که به تراز متعادل برسد. در این پژوهش باهدف کاهش سرعت و قدرت جریان شکافنده به بررسی تأثیر عوامل اثرگذار بر روی جریان شکافنده پرداخته شده است. جریان شکافنده به ویژگی‌های باد، موج، بستر و انرژی جزر و مد وابسته است. در این پژوهش برای بررسی عوامل ذکر شده از نرم‌افزار مایک ۲۱ ماثول‌های (SW Spectral waves FM) و Model Fm(FM) در سواحل انزلی استفاده و مشخص شد سرعت جریان شکافنده با ارتفاع موج، دوره تناوب موج، سرعت باد، تعداد بار رسوی و طول کanal شکافنده رابطه مستقیم و با عرض کanal شکافنده و عمق آب رابطه معکوس دارد. جهت اطمینان از نتایج نرم‌افزار به مقایسه نتایج این نرم‌افزار با نتایج بالشتک هوا موجود در عمق ۱۰.۵ متری بندر انزلی پرداخته و درستی نرم‌افزار تأیید شد.

**واژگان کلیدی:** جریان‌های ساحلی؛ جریان شکافنده؛ عوامل اثرگذار؛ مایک ۲۱؛ ماثول SW؛ ماثول Fm؛ بالشتک هوا.

## فهرست عنوان‌ها

<b>۱</b>	<b>فصل ۱ کلیات.</b>
۲	۱-۱- مقدمه .....
۹	۲-۱- بیان مسأله .....
۱۰	۳-۱- ضرورت انجام پژوهش .....
۱۱	۴-۱- هدف‌ها و کاربردهای پژوهش .....
۱۱	۵-۱- سازمان‌بندی پایان‌نامه .....
<b>۱۳</b>	<b>فصل ۲ مطالعات پیشین.</b>
۱۴	۱-۲- مقدمه .....
۱۴	۲-۲- ویژگی جریان شکافنده .....
۱۵	۳-۲- بررسی عوامل موثر بر روحی سرعت جریان شکافنده .....
۱۵	۱-۳-۲- ارتفاع موج
۱۷	۲-۳-۲- دوره تناوب موج
۱۹	۳-۳-۲- جهت موج
۲۱	۴-۳-۲- عمق آب
۲۱	۵-۳-۲- انرژی جزر و مدى
۲۲	۶-۳-۲- باد
۲۳	۷-۳-۲- هیدروگرافی
۲۴	۴-۲- پیش‌بینی جریان شکافنده .....
۲۴	۱-۴-۲- اندازه گیری‌های آزمایشگاهی
۲۵	۲-۴-۲- مطالعات میدانی
۲۷	۳-۴-۲- مدل‌های کامپیوتری و عددی
۲۹	۴-۴-۲- نمونه‌ایی از تحقیقات ترکیبی از دو روش
<b>۳۱</b>	<b>فصل ۳ مواد و روش‌ها.</b>
۳۲	۱-۳- مقدمه .....
۳۲	۲-۳- منطقه مطالعاتی .....

۳۲	۱-۲-۳ انتخاب سواحل شمال کشور
۳۳	۲-۲-۳ انتخاب سواحل انزلی
۳۶	۳-۳ موارد مورد استفاده در این پژوهش
۳۷	۱-۳-۳ مایک
۴۱	۲-۳-۳ داده های ورودی
۴۳	۴-۳ ضرایب کالیبراسیون
۴۴	۱-۴-۳ ضرایب کالیبراسیون ماژول SW
۴۵	۲-۴-۳ ضرایب کالیبراسیون ماژول FLOW MODEL FM
۴۶	۵-۳ خروجی های مدل
۴۶	۱-۵-۳ خروجی ماژول SW
۴۶	۲-۵-۳ خروجی ماژول FLOW MODEL FM
۴۶	۳-۳ نحوه استخراج رابطه

#### **فصل ۴ نتایج و بحث**

۵۰	۱-۴ مقدمه
۵۰	۲-۴ نتایج کالیبراسیون مدل
۵۲	۳-۴ بررسی تاثیر شکل بستر و وجود کanal شکافی بر سرعت جریان شکافنده
۵۳	۱-۳-۴ ایجاد بار رسوبی بدون مش داخلی و تغییر هیدرولوگرافی
۵۳	۲-۳-۴ ایجاد بار رسوبی با مش داخلی و مرز بار رسوبی به صورت باز
۵۴	۳-۳-۴ ایجاد بار رسوبی با مش داخلی و مرز بار رسوبی به صورت بسته
۵۴	۴-۳-۴ تعداد بار رسوبی
۵۵	۵-۳-۴ عرض کanal شکافنده
۵۶	۶-۳-۴ طول کanal شکافنده
۵۷	۴-۴ بررسی تاثیر موج بر سرعت جریان شکافنده
۵۷	۱-۴-۴ عمق آب
۵۸	۲-۴-۴ جهت ورودی موج
۵۹	۳-۴-۴ ارتفاع موج
۵۹	۴-۴-۴ دوره تناوب موج
۶۰	۵-۴ بررسی تاثیر باد بر سرعت جریان شکافنده
۶۰	۱-۵-۴ سرعت باد
۶۱	۲-۵-۴ جهت باد

۶۲ ..... ۴-۶- استخراج رابطه سرعت جريان شکافنده

## ۵- فصل نتیجه‌گیری و پیشنهادها

۶۶ ..... ۱-۱- مقدمه

۶۶ ..... ۲-۵- نتایج حاصل از مدل‌سازی در نرم‌افزار MIKE 21

۶۷ ..... ۳-۵- بررسی رابطه سرعت جريان شکافنده

۶۷ ..... ۴-۵- پیشنهادها برای مطالعات آتی

۶۹ ..... ۵- منابع و مراجع

## فهرست شکل‌ها

۴	شکل ۱-۱- نمایش نحوه شکل گیری جریان شکافنده
۵	شکل ۲-۱- نمایش بار رسوی و جریان شکافنده در فاصله بین دو بار رسوی
۶	شکل ۳-۱- ساختار جریان شکافنده
۸	شکل ۴-۱- نماهای مختلف از جریان شکافنده
۱۶	شکل ۲-۱- نمایش تاثیر ارتفاع موج بر سرعت جریان شکافنده
۱۸	شکل ۲-۲- نمایش تاثیر دوره تناوب موج بر سرعت جریان شکافنده
۱۹	شکل ۳-۲- ارتباط بین ارتفاع و دوره تناوب موج در دو حالت وقوع و عدم وقوع جریان شکافنده
۲۰	شکل ۴-۲- مقایسه پنج ضلعی به دست آمده از وصل کردن ۱۶ نقطه ایی که جهت متوسط موج را نشان می‌دهد در حالت وقوع و عدم وقوع جریان شکافنده
۲۱	شکل ۵-۲- میانگین دسته بندی جریان شکافنده براساس میانگین جهت موج نسبت به خط ساحلی
۳۶	شکل ۱-۳- سواحل انزلی
۴۱	شکل ۲-۳- مرز سواحل انزلی
۴۲	شکل ۳-۳- مش بندی سواحل انزلی
۴۳	شکل ۴-۳- نمایش مرزهای مدل
۵۱	شکل ۱-۴- مقایسه سرعت واقعی جریان در ساحل انزلی و سرعت به دست آمده از تحلیل مدل
۵۲	شکل ۲-۴- نمایش عرض بار رسوی
۵۳	شکل ۳-۴- ایجاد بار رسوی بدون مش داخلی و تغییر هیدروگرافی
۵۳	شکل ۴-۴- ایجاد بار رسوی با مش داخلی و در نظر گرفتن مرز بار رسوی به صورت باز
۵۴	شکل ۴-۵- ایجاد بار رسوی با مش داخلی و در نظر گرفتن مرز رسوی به صورت بسته
۵۵	شکل ۴-۶- بررسی تعداد بار رسوی بر سرعت جریان شکافنده

..... شکل ۷-۴- رابطه بین تعداد بار رسوبی و سرعت جریان شکافنده	۵۵
..... شکل ۸-۴- بررسی عرض کanal شکافنده بر سرعت جریان شکافنده	۵۶
..... شکل ۹-۴- رابطه بین عرض بار رسوبی و سرعت جریان شکافنده	۵۶
..... شکل ۱۰-۴- بررسی تغییر طول کanal شکافنده بر سرعت جریان شکافنده	۵۷
..... شکل ۱۱-۴- رابطه بین تعداد طول کanal شکافنده و سرعت جریان شکافنده	۵۷
..... شکل ۱۲-۴- رابطه بین عمق آب و سرعت جریان شکافنده	۵۸
..... شکل ۱۳-۴- رابطه بین جهت برخوردی موج و سرعت جریان شکافنده	۵۸
..... شکل ۱۴-۴- رابطه بین ارتفاع موج و سرعت جریان شکافنده	۵۹
..... شکل ۱۵-۴- رابطه بین تعداد بار رسوبی و سرعت جریان شکافنده	۵۹
..... شکل ۱۶-۴- رابطه بین سرعت باد و سرعت جریان شکافنده	۶۰
..... شکل ۱۷-۴- رابطه بین جهت برخوردی موج و سرعت جریان شکافنده در زاویه صفر درجه	۶۱
..... شکل ۱۸-۴- رابطه بین جهت برخوردی موج و سرعت جریان شکافنده در زاویه ۴۵ درجه	۶۱
..... شکل ۱۹-۴- رابطه بین جهت برخوردی موج و سرعت جریان شکافنده در زاویه ۲۷۰ درجه	۶۲
..... شکل ۲۰-۴- رابطه بین جهت برخوردی موج و سرعت جریان شکافنده در زاویه ۳۱۵ درجه	۶۲
..... شکل ۲۱-۴- رابطه بین سرعت جریان شکافنده محاسباتی و سرعت جریان شکافنده حاصل از مدلسازی عددی	۶۳

## فهرست جدول‌ها

جدول ۱-۲ - تاثیر سرعت و جهت باد بر سرعت جریان شکافنده	۲۲
جدول ۱-۴ - مقادیر پارامترهای مختلف در مرحله کالیبراسیون	۵۱

## مقالات برگرفته از پایان نامه و چاپ شده در مراجع معتبر

1. Hemati, L., Adjami, M.(2016), " The impact of the rip channels on the power rip currents. (Case study: West Caspian Sea, Kelachay station ) ". The 35th International Conference on Coastal Engineering (ICCE 2016), Istanbul, TURKEY.
  2. Hemati, L., Adjami, M. (2016), " The Numerical Modeling of Rip Channel in Power of Rip Currents (Case Study: West Caspian Sea, Kelachay Station) ". ISOPE-2016 Conferene, Greece.
۳. همتی ل، عجمی م، (۱۳۹۵)، " بررسی شکل گیری جریان شکافنده در شمال و جنوب ایران و مدلسازی جریان شکافنده در سواحل اanzلی "، مجله علمی- ترویجی علوم و فناوری دریا (ارسال شده- در مرحله داوری).
۴. همتی ل، عجمی م، جباری خامنه ا، (۱۳۹۴)، " مقایسه روش های نیمه تجربی برای بررسی اقلیم امواج ناشی از باد (مطالعه موردی: بندر اanzلی)" ، چهاردهمین کنفرانس هیدرولیک ایران، زاهدان، ایران.

## فهرست علامت های اختصاری

پارامتر	واحد	تعریف پارامتر
$\Omega, \Sigma, k^x$	—	شاخصهای مختلف مربوط به تعیین حالت ساحل
$H_b$	$m$	ارتفاع موج شکنا
$W_s$	—	سرعت ته نشینی ذرات رسوبی
$T$	$Sec$	دوره تناوب
$B$	$Deg$	زاویه شکست موج
$H_0$	$M$	ارتفاع موج در آب عمیق
$L_0$	$M$	طول موج در آب عمیق
$d_{50}$	$M$	قطر ۵۰٪ رسوبات
$G$	$m^3/sec$	شتاب جاذبه گرانشی
$E$	—	طیف انرژی موج فرکانسی_جهتی
$T$	$Sec$	زمان
$X, y$	$M$	مختصات دکارتی در حالت دو بعدی
$f$	$1/sec$	فرکانس
$\theta$	$Deg$	جهت انتشار امواج
$C_g$	$m/sec$	سرعت گروهی موج
$C$	$m/sec$	سرعت انتشار موج
$S$	—	عبارت چشمی و چاه
$S_{in}$	—	انتقال انرژی از باد به سطح آب

پارامتر	واحد	تعریف پارامتر
$S_{nl}$	—	انتقال انرژی توسط اندرکنش غیر خطی امواج
$S_{dis}$	—	استهلاک انرژی موج در اثر پدیده سفیدک رأس موج
$S_{bot}$	—	استهلاک انرژی موج ناشی از اندرکنش با آب بستر دریا
$S_{surf}$	—	استهلاک انرژی موج ناشی از شکست در ناحیه کم عمق
$MAPE$	—	پارامتر آماری درصد خطای میانگین
$MBE$	$m$	پارامتر آماری میانگین اریبی
$R$	—	پارامتر آماری ضریب همبستگی
$V$	$m/sec$	سرعت جریان و سرعت جریان شکافنده به دست آمده از رایطه تجربی
$V_m$	$m/sec$	سرعت جریان به دست آمده از نرم افزار
$N$	—	تعداد داده های ورودی
$\gamma$	—	پارامتر شکست
$K_n$	$m$	ضریب اصطحکاک
$C_{dis}, \text{ } DELTA_{dis}$	—	ضرایب سفیدک راس موج
$a, b, c, d, e, w, h, j, m, o, p, q, r, u$	—	ضرایب ثابت
$N$	—	تعداد بار رسوبی
$M$	$m$	عرض کanal شکافنده
$L$	$m$	طول کanal شکافنده
$D$	$m$	عمق آب
$H$	$m$	ارتفاع موج
$V_w$	$m/sec$	سرعت باد

پارامتر	واحد	تعریف پارامتر
$A$	$Rad$	زاویه برخوردی موج
$\Delta$	$Rad$	زمان
$\dot{f}$	-	ضریب اصطکاک باد
$Z$	$m$	تغییرات تراز سطح آب
$\dot{C}$	$m^{1/2}/sec$	ضریب شری
$P_a$	$Kg^{\cancel{/}} sec^3$	فشار هوا
$P_w$	$Kg^{\cancel{/}} sec^3$	جرم حجمی آب
$p,q$	$Kg^{\cancel{/}} sec^3$	دانسیته شار در جهت های مختلف
$V_x, V_y$	$m/sec$	سرعت متوسط عمقی در جهت های مختلف
$Y$	$Kg^{\cancel{/}} sec^3$	چگالی سینماتیکی



# فصل ۱ کلیات

معمولًاً حفاظت بهینه از سواحل مبتنی به شناخت کامل و جامع خصوصیات هیدرودینامیکی و عوارض حاصل از آن‌ها در مناطق ساحلی است. همچنین برنامه‌ریزی بهینه برای مقابله با بحران‌های ساحلی و مخاطرات طبیعی با تعیین اولویت‌ها و ضرورت‌های کارشناسی بهمنظور شناخت و طبقه‌بندی کردن سواحل به لحاظ آسیب‌پذیری همراه است؛ بنابراین شناسایی وضعیت سواحل بسیار مهم است.

در محیط‌های ساحلی، تأثیر امواج و جریانات ساحلی و همچنین تقابل رودها و دریا و علاوه بر آن اثر وزش باد در حضور ماسه‌زارهای وسیع از عوامل تغییردهنده شرایط مورفولوژی محسوب می‌شوند. در غالب سواحل، تغییرات ناشی از موارد فوق‌الذکر یا سرعت بسیار پایینی صورت می‌پذیرد و درواقع تقابل ساحل و عوامل تغییردهنده آن در پایداری نسبی می‌باشند. چنانچه تغییراتی بر طبیعت دریایی منطقه ساحلی اعمال گردد، روند طبیعی عملکرد متقابل دریا و ساحل از حالت پایدار و ماندگار خارج شده و واکنش‌هایی جهت رسیدن به پایداری جدید در منطقه به وجود خواهد آمد. این واکنش‌ها در قالب رسوب‌گذاری و فرسایش و تغییرات خط ساحل بروز می‌نمایند و تا زمان پایداری یا تعادل مجدد طبیعت ادامه می‌یابد.

مهم‌ترین فرآیندها در ناحیه ساحلی فرآیندهای ناشی از موج، جزر و مد، نوسان تراز آب و فرایندهای رودخانه‌ای و بادی است، بیشتر جریان‌های ساحلی بر اثر حضور موج و شکست آن ایجاد می‌شوند. این جریان‌ها آن قدر قوی هستند که می‌توانند حجم زیادی از رسوب را حمل کنند، سبب پاکسازی ساحل شوند یا این‌که شناگران ماهر را حتی غرق نمایند. شکست موج به علت دو پدیده رخ می‌دهد. اول این‌که وقتی آب از ناحیه عمیق به ناحیه کم‌عمق نزدیک می‌شود پدیده خرز و انکسار را شاهد خواهیم بود، هرچه تماس موج با بستر بیشتر باشد ضرب انکسار و خرز رشد بیشتری خواهد داشت که این خود باعث افزایش ارتفاع خواهد شد. دوم آن‌که با افزایش ارتفاع موج و ثابت ماندن عمق فاصله بین قله و حضیض موج افزایش می‌یابد و فاصله بین دو قله کاهش می‌یابد که این سبب افزایش بیشتر سرعت ذره موج در قله نسبت به سرعت گروهی موج می‌شود که این تفاوت سرعت باعث کج شدن موج می‌شود، این دو دلیل دست‌به‌دست هم می‌دهند و باعث شکست موج می‌شوند.

جريان‌های طولی ساحلی<sup>۱</sup> که به موازات ساحل حرکت می‌کنند و جريان‌های عمود بر ساحل<sup>۲</sup> دو جريان اصلی ناشی از شکست موج می‌باشند که بسته به زاویه‌ایی که موج به ساحل برخورد می‌کند جريان طولی و یا جريان عرضی قویی را شاهد خواهیم بود. جريان‌های عمود بر ساحل سبب تغییر شکل بستر دریا در ناحیه ساحلی و انتقال رسوب در جهت عمود بر ساحل و تشکیل پشت‌های ماسه‌ای ساحلی و پشت‌های زیرآبی می‌شوند. این جريان‌ها مسئول حوادث ناگوار برای شناگران هستند. جريان‌های موازی با ساحل مسئول انتقال رسوب و آلاینده‌ها به موازات ساحل هستند و زمانی که انرژی خود را از دست بدنه‌ند یا به مانع همچون موج‌شکن بندرها برخورد کنند، رسوب را بر جای می‌گذارند و مشکلات جدی برای سازه‌های ساحلی ایجاد می‌کنند. هنگامی که موج عمود بر ساحل شکست یابد، جريان‌های عمود بر ساحل به وجود می‌آیند و اگر شکست موج نسبت به خط ساحل غیرعمودی باشد، جريان‌های موازی ساحل توسعه می‌یابند (پورتال پژوهشگاه ملی اقیانوس شناسی و علوم جوی).

هنگامی که موج در آب کم‌عمق می‌شکند، بخشی از انرژی موج سبب راندن آب به سوی ساحل می‌شود. آبی که به سوی ساحل آمده به دلیل اختلاف ارتفاع با موج آغازین<sup>۳</sup> بر روی شب ساحل به دریا بازمی‌گردد که این اختلاف ارتفاع ناشی از تفاوت تنفس تشعشعی<sup>۴</sup> می‌باشد. به این صورت که امواج در بعضی نقاط به علت تنفس تشعشعی بالا با شدت بیشتری می‌شکنند یعنی از ارتفاع بیشتری برخوردارند و در برخی نقاط که تنفس تشعشعی کمتر است با شدت کمتری می‌شکنند که نشان‌دهنده ارتفاع کمتر است. جريان برای رسیدن به تراز تعادل از جایی که ارتفاع بیشتری دارد به جایی که ارتفاع کمتر دارد حرکت می‌کند، از طرف دیگر هم همین اتفاق رخ می‌دهد، از برخورد این جريان‌ها، جريان شکافنده شکل می‌گیرد. بازگشت آب به دریا یکنواخت نیست و ممکن است از مسیرهایی که بیشتر شبیه کanal است که بین دو بار رسوبی شکل می‌گیرد، صورت گیرد، جريان‌هایی

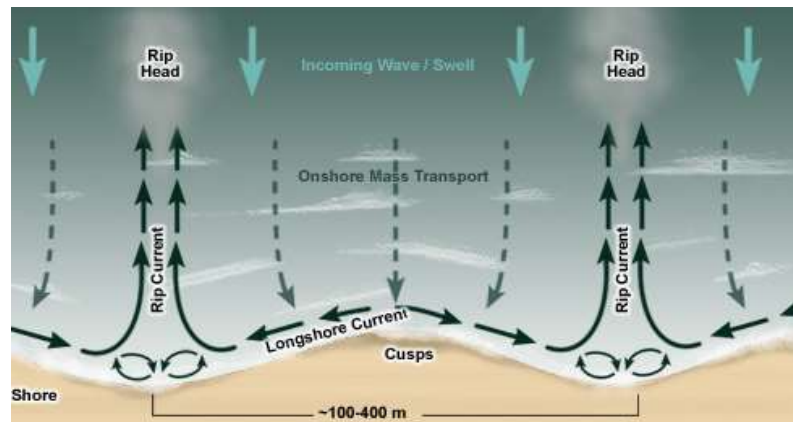
<sup>۱</sup>Long shore

<sup>۲</sup>Cross shore

<sup>۳</sup>Wave set-up

<sup>۴</sup>Radiation Stresses

که بدین گونه بهسوی دریا حرکت می‌کنند، به جریان‌های شکافنده<sup>۱</sup> معروف هستند که در شکل ۱-۱ نشان داده شده اند.



شکل ۱-۱- نمایش نحوه شکل گیری جریان شکافنده.

محل تشکیل بارهای رسوی و یا به تعریفی دیگر محل تشکیل جریان شکافنده به نیروی جریان آندرتوو<sup>۲</sup> و نیروی استوکس دریفت<sup>۳</sup> وابسته است. جریان آندرتوو، جریان زیر آبی است که به سمت دریا حرکت می‌کند و عامل اصلی حرکت رسوبات بستر به سمت دریا است. این رسوبات تا جایی که انرژی جریان زیر آبی اجازه دهد شسته می‌شود و به سمت دریا حرکت می‌کنند از طرفی از سمت دریا به سمت ساحل نیروی استوکس دریفت وجود دارد، محلی که نیروی استوکس دریفت و جریان زیر آبی برابر باشند بار رسوی شکل می‌گیرد. مطابق شکل ۲-۱ فاصله بین دوبار رسوی محل تشکیل جریان شکافنده است (ارتش آمریکا، ۲۰۰۲).

<sup>۱</sup>Rip current

<sup>۲</sup>Under Tow Current

<sup>۳</sup>Stokes Drift

<sup>۴</sup>United States Army



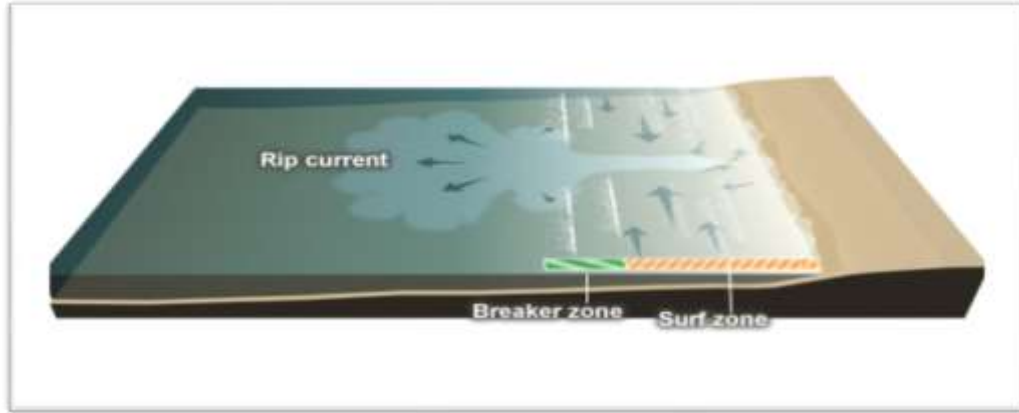
شکل ۱-۲- نمایش بار رسوی و جریان شکافنده که در فاصله بین دو بار رسوی.

تنش تشعشعی ترکیبی از  $S_{xx}$ ,  $S_{yy}$  و  $S_{xy}$  است. تغییرات تنش تشعشعی جریان عرضی،  $S_{yy}$  تغییرات تنش طولی و  $S_{xy}$  مؤلفه برشی تنش تشعشعی که به جریان شکافنده و ویژگی‌های کف بستر وابسته است را نشان می‌دهد.  $S_{xx}$  در ناحیه کم‌عمق ساحلی،  $S_{xx} = 1.5E$  و  $S_{yy} = 0.5 E$  گه هرچه انرژی بیشتر، ارتفاع بیشتر و سبب هرچه زودتر شکستن موج می‌شود. تغییرات تنش تشعشعی به صورت مستقیم بر روی جریان شکافنده اثرگذار است، بنابراین برای محاسبات جریان شکافنده نیاز به محاسبه تنش تشعشعی می‌باشد(مک ماهان و همکارانش، ۲۰۰۶<sup>۱</sup>).

حرکت جریان شکافنده مطابق شکل ۳-۱ از داخل منطقه فعال ساحلی آغاز می‌شود و تا خارج از خط شکست موج ادامه می‌یابد.

---

<sup>1</sup>Macmahan et al



شکل ۱-۳-۱- ساختار جریان شکافنده

از عمق ۱۰ متر به بعد جریان شکافنده وجود ندارد و این جریان یک جریان سطحی محسوب می‌شود و از آنجایی که وجود جریان‌های شکافنده به حضور موج وابسته است، این جریان‌ها در تمام فصول سال وجود دارد. جریان‌های شکافنده، جریان با عرض کم، طول متغیر و قدرتمندی هستند که هنگام شکست موج و بازگشت آب بهسوی دریا از ناحیه نزدیک خط ساحلی به‌طرف دریا گسترش می‌یابند، این جریان‌ها معمولاً بهصورت یک محدوده قابل رؤیت از آب متلاطم ظاهر می‌شوند.

زاویه برخورد موج به ساحل و شکل بستر ازجمله عوامل اصلی ایجاد جریان شکافنده در یک منطقه ساحلی است. جریان‌های شکافنده به دلایل متفاوتی می‌تواند ایجاد شود، اما نکته مشترک در همه موارد یک‌چیز است و آن، شکست موج و حرکت آب بهسوی دریا از نقطه‌ای که ارتفاع آب بیشتر است بهسوی نقطه‌ای که ارتفاع کمتر است تا این‌که به تراز متعادل برسد.

سرعت متوسط جریان شکافنده حدود ۰.۵ متر بر ثانیه است، ولی سرعت جریان‌های شکافنده قوی ممکن است تا حدود ۲ متر بر ثانیه برسد. عواملی که بر روی سرعت جریان شکافنده اثرگذار است عبارتند از:

- ویژگی‌های بادی که در منطقه می‌وزد شامل سرعت و جهت باد.
- ویژگی‌های موج تشکیل شده در منطقه شامل دوره تناوب موج، ارتفاع موج و سرعت موج که به علت شکل گیری جریان شکافنده در ناحیه کم عمق سرعت موج تابعی از عمق دریا است.
- ویژگی‌های بستری که جریان شکافنده در آن رخ می‌دهد شامل شبیب بستر، تنفس برشی کف، اندازه متوسط ذرات رسوب و شکل بستر

- انرژی جزر و مد که تابعی از ارتفاع جزر و مدی است.
- انرژی امواج دورا<sup>۱</sup>
- وجود سازه ساحلی

در این مطالعه تاثیر شیب بستر، تنش برشی کف، اندازه متوسط ذرات رسوب بر سرعت جریان شکافنده به علت ثابت بودن مقادیر آن‌ها در سواحل ارزلی، انرژی جزر و مد به علت جزر و مدی نبودن سواحل دریای خزر، انرژی امواج دورا به علت عدم اندازه گیری آن در سواحل ایران و وجود سازه ساحلی به علت عدم وجود سازه ساحلی در منطقه مورد مطالعه بررسی نشد.

این جریان‌ها در محدوده آب کم‌عمق ساحلی به وجود می‌آیند و هر ساله در آب‌های ساحلی ایران در دریای خزر سبب مرگ تعداد زیادی از شناگران می‌شوند (پورتال پژوهشگاه ملی اقیانوس شناسی و علوم جوی).

برخی نشانه‌های قابل‌رؤیت جریان‌های شکافنده که در شکل ۴-۱ مواردی از آن‌ها دیده می‌شود، عبارت‌اند از:

- ۱- اگر کسی در نقطه‌ایی با ارتفاع بیشتر نسبت به ساحل قرار گیرد و به کرانه دریا نگاه کند راه‌ها و شکل‌هایی را که به بادبزن دستی شباهت دارد را خواهد دید.
- ۲- آب در محل جریان شکافنده آرام و بدون موج است.
- ۳- رنگ آب در محل جریان شکافنده با بقیه تفاوت دارد.
- ۴- خطی از آب کف‌آلود، خزه یا زباله در محل جریان شکافنده به سمت دریا حرکت می‌کنند. می‌توان برای مشاهده بهتر این جریان، از رنگ استفاده کرد.
- ۵- امواجی که به سمت ساحل می‌آیند، در محل جریان شکافنده دچار شکست می‌شوند.
- ۶- در سواحل ماسه‌ای علائمی شبیه شکل هلال وجود دارد. نوک هلال جایی است که جریان شکافنده تشکیل می‌شود.

---

<sup>1</sup>'Swell

نشانه‌های دیگر نیازمند سنجش با دستگاه‌های دقیق دریایی است (شوستری زاده ناصری و توکلی، ۱۳۸۸).



شکل ۱-۴- نماهای مختلف از جریان شکافنده.

برای بررسی و مطالعه جریان شکافنده می‌توان از روش‌های مشاهده و اندازه‌گیری میدانی، اندازه‌گیری‌های آزمایشگاهی و انجام آزمایش‌ها در فلوم‌های موج و همچنین روش‌های عددی بهره برد. در این پژوهش از روش عددی استفاده شده است. روش عددی به تنظیم، مطالعه و اعمال شیوه‌های تقریبی محاسباتی برای حل آن دسته از مسائل ریاضیات پیوسته می‌پردازد که با روش‌های تحلیلی و دقیق قابل حل نیستند. الگوریتم مربوط به محاسبات عددی در حل بسیاری از مسائل موجود در مهندسی مورداستفاده قرار می‌گیرد. امروزه بیشتر الگوریتم‌ها توسط رایانه اجرا می‌شوند که بدین منظور نرم‌افزارهایی برای اجرای محاسبات ریاضی طراحی شده‌اند. در این پژوهه از نرم‌افزار مایک ۲۱ مازول‌های Flow Model FM(FM) و SW Spectral Waves FM

استفاده شد. این نرمافزار با رایطه‌بندی مبانی فیزیکی تولید و انتشار امواج ناشی از باد و فرایندهای خاص آب کم‌عمق و اثر بستر، نتایج قابل‌اطمینانی ارائه می‌کند. در این پژوهش با استفاده از داده‌های هیدرو‌گرافی، باد، موج و جریان به مدل کردن سواحل انزلی پرداخته می‌شود و سپس با تغییر پارامترهای مؤثر بر روی جریان شکافنده، با استفاده از روش‌های آماری و با استفاده از SOLVER نرمافزار اکسل رایطه‌ی برای سرعت جریان شکافنده به دست می‌آید.

## ۱-۲- بیان مسئله

پیش‌بینی مخاطرات دریایی نقش کلیدی در برنامه‌های توسعه‌ای در نواحی ساحلی، دریایی و حتی در مناطق داخلی ایفا می‌کند. به علت آنکه جریان شکافنده از مخاطرات رایج دریایی است و خطر ناشی از آن در شمال کشور به علت مسافت‌های زیاد مردم در تابستان بیشتر است، به بررسی جریان شکافنده در سواحل انزلی پرداختیم.

جهت بررسی جریان شکافنده با استفاده از نرمافزار مایک ابتدا اطلاعات موردنیاز برای نرمافزار که عبارت‌اند از: سرعت باد، جهت باد، سرعت موج، جهت متوسط موج، عامل بدون بعد موج، تغییرات سطح آب و هیدرو‌گرافی ساحل انزلی از کاربر پرسیده می‌شود. سپس با فرض مثلثی بودن مش، خروجی مازول SW که تنش تشعشعی می‌باشد را به صورت داده وردی به مازول FM می‌دهیم و سرعت جریان را به عنوان خروجی از آن می‌گیریم، به علت تأثیر تنش تشعشعی بر روی جریان شکافنده دقت مدل‌سازی در مازول<sup>W</sup> ضروری به نظر می‌رسد، این عملیات تا زمانی که اختلاف سرعت جریان حاصله از نرمافزار با سرعت جریان متوسط گیری شده از بالشکن‌های هوا در عمق ۰.۵ از خطای قابل قبول (دقیق مسئله) کمتر شود، ادامه پیدا می‌کند.

این نرمافزار بر مبنای حل عددی ۲ و ۳ بعدی معادلات میانگین نویر-استوکس برای حالت بدون تراکم پذیر با در نظر گرفتن بوسینسک و فشار هیدرواستاتیک بنا شده است؛ که معادلات پیوستگی، مومنتوم، دما، شوری و دانسیته نیز لحاظ گردیده است. پس از اطمینان از صحت نتایج نرمافزار، برای جانمایی هرچه دقیق‌تر بارهای رسوبی می‌توان از نقشه‌های هوایی با ارتفاع کم استفاده شد. سپس به بررسی جریان شکافنده و عوامل مؤثر بر آن پرداخته شد.

درنهایت با توجه به آنالیز ابعادی و پارامترهای موثر بر سرعت جریان شکافنده و با استفاده از نرم‌افزار اکسل رایطه‌ی برای سرعت جریان شکافنده حاصل شد.

### ۳-۱- ضرورت انجام پژوهش

نواحی ساحلی به دلیل شرایط مناسب طبیعی و اقتصادی، بیشتر جمعیت دنیا را در خود جا داده است. سواحل به دلیل ایفای نقش‌های گوناگون چون نقش ارتباطی، اقتصادی و بازرگانی در زندگی انسان‌ها اهمیت زیادی دارند؛ اما سابقه رویدادهای سهمگین در محیط‌های دریایی و ساحلی باید توجه را نسبت به مخاطرات اقتصادی، اجتماعی و حتی امنیتی ناشی از آن‌ها جلب کند. کشور ایران به علت داشتن سواحل طولانی دریایی و دریاچه‌ای تحت تأثیر مخاطرات این محیط‌ها است. یکی از مخاطرات دریایی رایج جریان شکافنده است.

مخاطرات اقتصادی، اجتماعی و حتی امنیتی جریان شکافنده را از دو دید می‌توان بررسی کرد:

۱- جریان شکافنده تغییراتی در طبیعت دریایی منطقه ساحلی اعمال می‌کند، روند طبیعی عملکرد متقابل دریا و ساحل را از حالت پایدار و ماندگار خارج می‌کند، واکنش‌هایی جهت رسیدن به پایداری جدید در منطقه به وجود خواهد آمد. این واکنش‌ها در قالب رسوب‌گذاری و فرسایش و تغییر خط ساحلی بروز می‌نماید و تازمان پایداری یا تعادل مجدد طبیعت ادامه می‌یابد. تغییر خط ساحلی میزان کاربری سواحل را کاهش می‌دهد. با کاهش سرعت و قدرت جریان شکافنده یا شناخت مناطقی با سرعت و قدرت جریان شکافنده کمتر استفاده بهینه‌تری از ساحل داریم.

۲- جریان شکافنده از جریان‌های ساحلی است که هر ساله باعث غرق شدن افراد زیادی در دریاها می‌شود، در ایران غرق‌شدگی به عنوان یک مشکل مهم سلامت محسوب می‌گردد. بر اساس آخرین گزارش‌ها، غرق‌شدگی در ایران ۰.۱ درصد از کل حوادث را به خود اختصاص می‌دهد. در شش ماه اول سال ۱۳۹۱، ۳۱۹ مورد غرق‌شدگی ثبت شده است. با کاهش سرعت و قدرت جریان شکافنده یا شناخت مناطقی با سرعت و قدرت جریان شکافنده کمتر غرق‌شدگی و خسارت‌های ناشی از آن کاهش می‌یابد.

در این پژوهش با توجه به اهمیت‌های ذکر شده به مطالعه و بررسی این موضوع پرداخته شده است.

#### ۴-۱- هدف‌ها و کاربردهای پژوهش

این پژوهه باهدف بررسی تأثیر سرعت باد، جهت باد، ارتفاع موج، دوره تنابوب موج، جهت موج، عمق آب، شبیب بستر، تنش برشی کف، اندازه متوسط ذرات رسوب، شکل بستر و بهصورت خاص وجود کanal شکافی<sup>۱</sup> و ارتفاع جزر و مدى بر روی جریان شکافنده و پیش‌بینی جریان‌های شکافنده خط‌رنگ در ساحل انزلی که ساحلی با جریان‌های شکافنده شدید می‌باشد، انجام می‌شود.

این کار به علت اهمیت فوق‌العاده جریان شکافنده امری ضروری می‌باشد که منجر به اتخاذ تصمیمات مدیریتی مؤثر برای جلوگیری از توسعه نابجا و انجام اقدامات مناسب جهت کاهش خسارات و لطمات جبران‌پذیر این مخاطره دریایی خواهد شد.

#### ۵- سازمان‌بندی پایان‌نامه

این پایان‌نامه شامل پنج فصل می‌باشد که در فصل یکم به بیان کلیات پژوهش پرداخته می‌شود. در فصل دوم به بررسی و بیان پیشینه پژوهش که در رابطه با ویژگی‌های جریان شکافنده، عوامل اثرگذار بر روی جریان شکافنده و پیش‌بینی جریان شکافنده است، پرداخته شد. فصل سوم با عنوان مواد و روش‌ها، به دو قسمت اصلی تقسیم می‌شود، در قسمت یکم، مشخصات منطقه مورد مطالعه در این پژوهش و در قسمت بعد به معرفی نرم‌افزار مورد استفاده در این پژوهش، اطلاعات ورودی در نرم‌افزار و معرفی نرم‌افزار اکسل برای تعریف رابطه سرعت جریان شکافنده پرداخته شده است. در فصل چهارم نتیجه‌های به دست آمده از مدل‌سازی مورد بررسی قرار گرفت. درنهایت بررسی نتایج و نتیجه‌گیری از پژوهش انجام شده در فصل پنجم با عنوان نتیجه‌گیری و پیشنهادها ارائه شده است.

---

<sup>۱</sup>Rip Channel



## **فصل ۲ مطالعات پیشین**

در هر پژوهش با توجه به انجام تحقیق‌های مشابه در زمینه‌های مختلف یک کار علمی، بررسی و مطالعه دقیق کارهای انجام‌شده در رابطه با یک تحقیق از عوامل مؤثر و ضروری در پیشبرد هدفمند یک پژوهه علمی است. به همین منظور این فصل به مطالعات مرتبط با موضوع پژوهش حاضر اختصاص یافته است. جهت بررسی تاریخچه موضوع، با توجه به اهداف پژوهش، مطالعات پیشین در چند قسمت مورد مطالعه قرار گرفت. در قسمت اول این مطالعات بررسی مختصری در رابطه با ویژگی جریان شکافنده و عوامل مؤثر بر سرعت آن پرداخته می‌شود. در قسمت دوم با مطالعه و بیان پژوهش‌های مرتبط با پیش‌بینی جریان شکافنده، مطالعات پیشین در رابطه با این پژوهش مورد بررسی قرار گرفته است.

## ۲-۲- ویژگی جریان شکافنده

شپارد و همکارانش<sup>۱</sup> در سال ۱۹۴۱ جزو اولین کسانی بودن که به شیوه علمی بر روی رفتار جریان شکافنده تحقیق کردند، آن‌ها به این نتیجه رسیدند که شدت و فاصله جریان‌های شکافنده تابعی از ارتفاع موج برخوردي به ساحل است. بوون<sup>۲</sup> در سال ۱۹۶۹ جریان شکافنده را جریانی با عرض کم و قوی که از ساحل به سمت دریا حرکت می‌کند و از منطقه فعال ساحلی شروع می‌شود، معرفی کرد. شپارد و اینمن<sup>۳</sup> طی مطالعات خود در سال ۱۹۵۰ و ۱۹۵۱ به این نتیجه رسیدند که جریان شکافنده بخشی از ساختار جریان نزدیک ساحل است که شامل امواجی که از سمت آب عمیق به سمت آب کم‌عمق حرکت می‌کنند و در نزدیکی خط ساحلی می‌شکند شکست موج سبب تشکیل جریان طولی می‌شود که از به هم پیوستن جریانات طولی جریانات مغذی و از به هم پیوستن جریانات مغذی در کanal شکافی جریان کم‌عرض و قوی شکافنده شکل می‌گیرد.

شپارد و همکارانش همچنین تنوع جریان طولی که در اثر ارتفاع‌های مختلف موج برخوردي ایجاد می‌شود، به عنوان مکانیسم اجباری برای ساختار جریان معرفی کردند.

---

<sup>1</sup>Shepard et al

<sup>2</sup>Bowen

<sup>3</sup>Inman

کومار<sup>۱</sup> در سال ۱۹۷۶ اعلام کرد که مکانیسم ایجاد جریان شکافنده شامل اندرکنش بین موج و سازه‌های ساحلی مانند اسکله‌های عمود بر ساحل، اسکله‌ها و آب‌شکن‌ها و یا اندرکنش موج و خط ساحلی است. در مورد مقدار سرعت جریان شکافنده مطالعات زیادی انجام شده است که شامل ۱۰۰ متر بر ثانیه (شپارد و اینمن، ۱۹۵۰)، ۵۰ سانتی‌متر بر ثانیه (سنو، ۱۹۷۲)،<sup>۲</sup> ۳۰ سانتی‌متر بر ثانیه (هانتلی و همکاران، ۱۹۸۸)،<sup>۳</sup> ۷۰ سانتی‌متر بر ثانیه (شورت و هوگان، ۱۹۹۴)<sup>۴</sup> و سرعت بیشینه بالای ۲ متر بر ثانیه (می‌دوز و همکاران، ۲۰۰۴).<sup>۵</sup>

کوک<sup>۶</sup>، کومار و شورت به ترتیب در سال‌های ۱۹۷۰، ۱۹۷۱ و ۱۹۹۹ به این نتیجه رسیدند که جریان شکافنده عامل تغییر ساحل شنی می‌باشد و برای انتقال رسوبات به فراساحل مهم است.

### ۳-۲- بررسی عوامل موثر بر روحی سرعت جریان شکافنده

سرعت جریان شکافنده متغیر است و امکان دارد به علت عوامل ایجادکننده ناپایداری در الگوی گردش آب در نزدیکی ساحل که شامل سرعت باد، جهت باد، ارتفاع موج، دوره تناوب موج، جهت موج، عمق آب، شیب بستر، تنفس برشی کف، اندازه متوسط ذرات رسوب، شکل بستر و ارتفاع جزر و مدلی به سرعت تغییر کند. اگرچه سرعت متوسط جریان شکافنده ۰.۵ متر بر ثانیه است، اما این سرعت می‌تواند به ۲.۵ متر بر ثانیه نیز برسد که بر این اساس تحقیقات گسترشده ایی در این زمینه انجام شده است.

### ۳-۲-۱ ارتفاع موج

شپارد و همکارانش در سال ۱۹۴۱ بیان کردند که فعالیت جریان شکافنده و بزرگی ارتفاع موج به هم مرتبط می‌باشند. انگل<sup>۷</sup> در سال ۲۰۰۲ عامل افزایش تفاوت سطح آب در نزدیکی ساحل را شکست امواج مرتفع‌تر در ناحیه فعال ساحلی بیان کرد به دلیل این اختلاف ارتفاع آبی که به سمت ساحل

<sup>1</sup>Komar

<sup>2</sup>Sonu

<sup>3</sup>Huntley et al

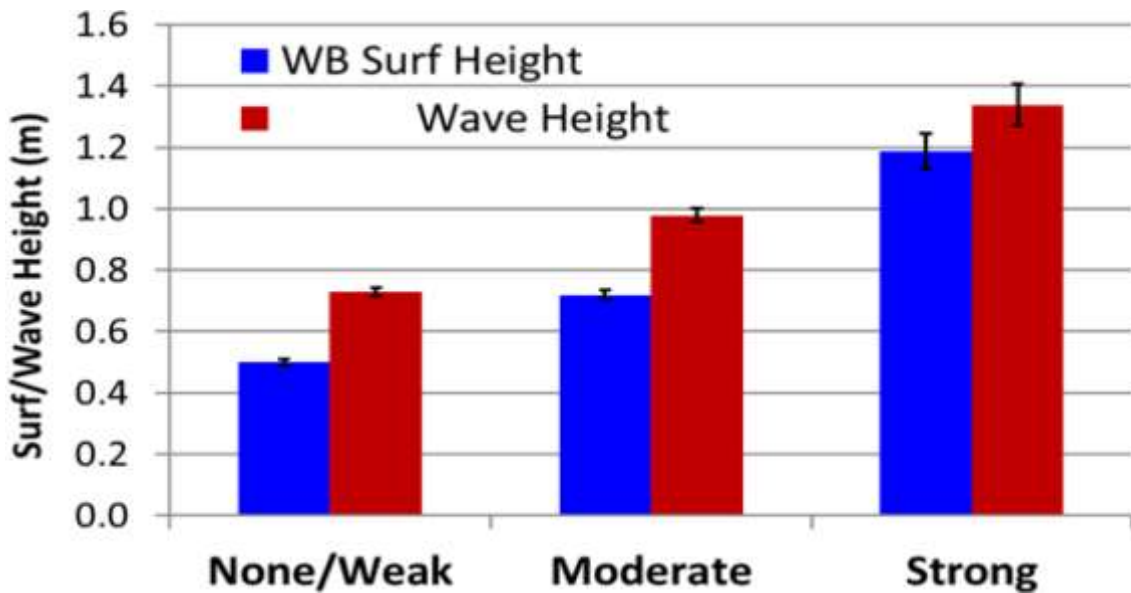
<sup>4</sup>Short and Hogan

<sup>5</sup>Meadows et al

<sup>6</sup>Cooke

<sup>7</sup>Engle

آمده بر روی شیب ساحل به دریا باز می‌گردد که هر چه میزان این اختلاف ارتفاع بیشتر باشد میزان انرژی جریان نیز بیشتر است. این برگشت می‌تواند از طریق شکست یا کانال‌هایی در پشته شنی رخ دهد. دیوسک<sup>۱</sup> در سال ۲۰۱۱ ارتفاع مشخصه امواج را پارامتری مؤثر بر تشکیل جریان شکافنده یافت. دیوسک و سیم<sup>۲</sup> در سال ۲۰۱۳ ارتفاع شاخص موج را به عنوان پارامتری کلیدی برای پیش‌بینی و شناسایی جریان شکافنده معرفی کردند. آن‌ها همچنین به این نتیجه رسیدند که ۲/۳ جریان شکافنده در ارتفاع بین ۱ تا ۱.۲ متری رخ می‌دهد و میزان وقوع این جریان در ارتفاع بیشتر از ۱.۲ کاهش می‌یابد. رینهارت و فاف<sup>۳</sup> در سال ۲۰۱۶ طی بررسی‌هایی که بر روی تأثیر ویژگی امواج ساحل رایت سویل<sup>۴</sup> بر روی جریان شکافنده واقع در شمال کالیفرنیا انجام دادند به این نتیجه رسیدند که ارتفاع موج تأثیر به سزایی در قدرت و سرعت جریان شکافنده دارد که در شکل ۱-۲ به خوبی نشان داده شده است.



شکل ۱-۲ - نمایش تأثیر ارتفاع موج بر سرعت جریان شکافنده، ستون آبی میانگین ارتفاع ناحیه فعال ساحلی و ستون قرمز ارتفاع امواج به دست آمده از شناور که برای جریان شکافنده ضعیف، متوسط و قوی گزارش شده است. خط‌های مشکی نشان‌دهنده خطای استاندارد از میانگین برای هر دسته‌بندی است.

<sup>1</sup>Dusek

<sup>2</sup>Seim

<sup>3</sup>Reinhart and pfaff

<sup>4</sup> Wrightsville

## ۲-۳-۲ دوره تناوب موج

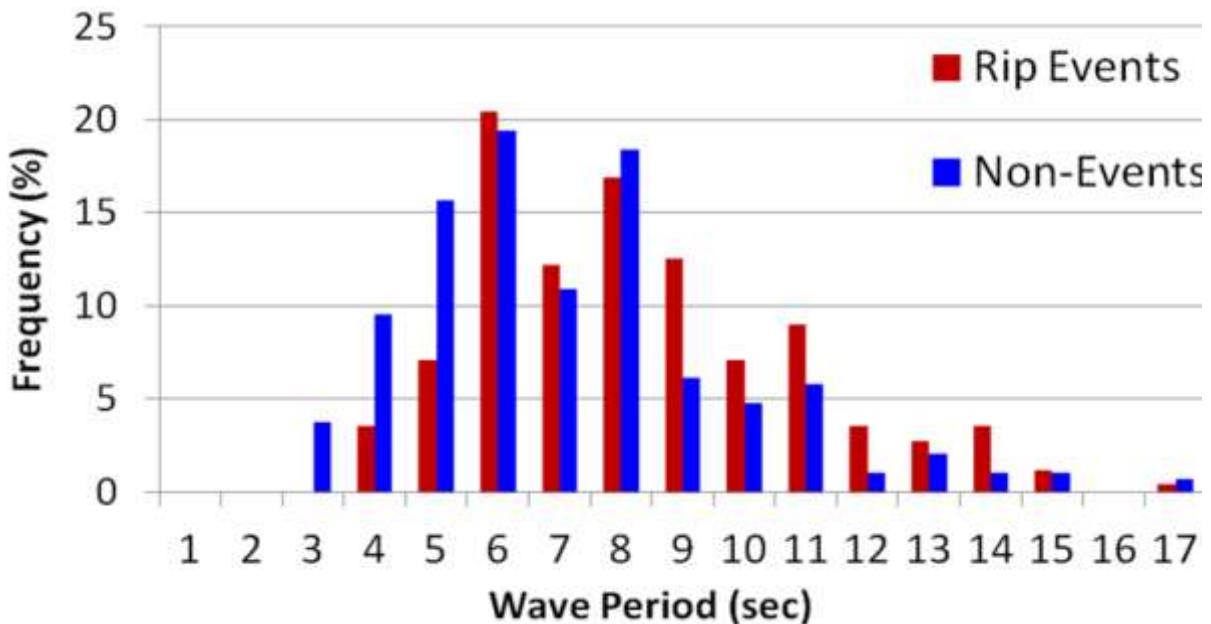
مطالعات بر روی تأثیر دوره تناوب موج بر روی جریان شکافنده نتایج متفاوتی را نشان می‌دهد. اولین مطالعه توسط لوسین<sup>۱</sup> در سال ۱۹۹۱ در جنوب شرقی فلوریدا انجام شد که ارتباط خوبی بین سرعت و جهت باد محلی با جریان شکافنده یافت و به این نتیجه رسید امواج با دوره کوتاه‌تر برای شکل‌گیری جریان شکافنده بسیار مهم هستند. سنو و همکارانش در سال ۱۹۷۲ و بومن<sup>۲</sup> در سال ۱۹۸۸ به این نتیجه رسیدند که جریان شکافنده در دوره تناوب طولانی اتفاق می‌افتد. از سوی دیگر لاسکودی<sup>۳</sup> در سال ۱۹۹۸ نشان داد که ۷۵ درصد نجات‌یافتنگان در فلوریدای شرقی در روزهایی با دوره تناوب بلند اتفاق افتاد و دوره تناوب بیشتر از ۱۲ ثانیه با نجات‌یافتنگان بیشتری همراه بود که نشان از قدرت و به عبارتی سرعت کمتر جریان شکافنده داشت. انگل و همکاران در سال ۲۰۰۲ دوره مطلوب‌ترین دوره موج برای تشکیل جریان شکافنده را بین ۸ تا ۱۰ ثانیه پیش‌بینی کرد. در کار انگل ۶۲ درصد از نجات‌یافتنگان در دوره موج بین ۷.۵ تا ۹ نجات پیدا کردند. لانگ و هالر<sup>۴</sup> در سال ۲۰۰۵ به این نتیجه رسیدند که جریان شکافنده در دوره تناوب کوتاه شکل نمی‌گیرد. در سال ۲۰۱۲ طبق تحقیقات National Oceanic and Atmospheric و Florida division of emergency management Administration با افزایش دوره تناوب سرعت جریان شکافنده افزایش می‌یابد. دیوسک و سیم در سال ۲۰۱۳ نشان دادند که در کارولینای شمالی مطابق شکل ۲-۲ که با توجه به داده‌های جمع‌آوری‌شده در ساحل رایت سیویل به دست آمده، ارتباط معناداری بین شدت جریان شکافنده و دوره تناوب موج وجود ندارد.

<sup>1</sup>Lushine

<sup>2</sup>Bowman

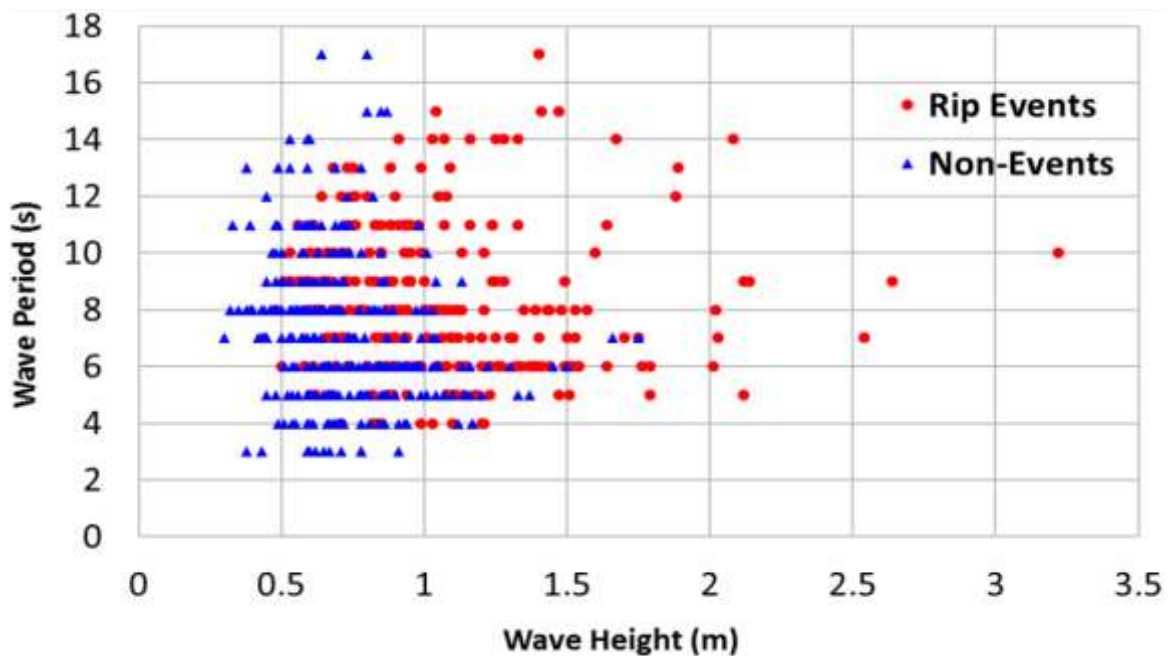
<sup>3</sup>Lascody

<sup>4</sup>Long and Haller



شکل ۲-۲- نمایش تاثیر دوره تناوب موج بر سرعت جریان شکافنده. ستون آبی دوره تناوب موج و فرکانسی را نشان می‌دهد که در آن جریان شکافنده رخ داده و ستون قرمز دوره تناوب موج و فرکانسی را نشان می‌دهد که در آن جریان شکافنده رخ نداده است.

مقایسه این دو ستون نشان می‌دهد که در دوره موج کمتر از ۶ ثانیه وقوع جریان شکافنده با احتمال ضعیفی روبرو است به طوری که تنها ۱۰ درصد از حوادث جریان شکافنده با دوره موج ۴ تا ۵ ثانیه رخ می‌دهد؛ اما دوره تناوب ۶ ثانیه بسیار قابل توجه بود به صورتی که به تنها ۲۰ درصد حوادث در این دوره تناوب و در دوره تناوب ۶ تا ۹ ثانیه، در ساحل رایت سیویل در سال‌های ۲۰۰۹ تا ۲۰۱۳ درصد حوادث جریان شکافنده قابل مشاهده بود. دوره تناوب بیش از ۱۰ ثانیه نیز بیش از ۲۵ درصد حوادث را به خود اختصاص داد. به منظور اطمینان حاصل کردن از این که امواج با دوره تناوب کمتر از ۶ ثانیه با فرکانس پایین جریان شکافنده، در ارتباط است مقایسه ای بین ارتفاع و دوره تناوب موج در حالتی که جریان شکافنده رخ می‌دهد و جریان شکافنده رخ نمی‌دهد، انجام شد که نتایج آن در شکل ۳-۲ نشان داده شده است. از ۵۴۹ داده حاصله از شناور، ۱۱۲ تای آن‌ها دوره تناوب موج کمتر از ۶ ثانیه را نشان می‌داد که این ۷۲ تا از این ۱۱۲ تا ارتفاع موج بزرگ‌تر یا مساوی ۰.۷ متر را نشان می‌دادند.



شکل ۳-۲- ارتباط بین ارتفاع و دوره تناوب موج در دو حالت وقوع و عدم وقوع جریان شکافنده، نقطه‌های قرمز که نشان‌دهنده ارتفاع و دوره تناوب موج در حالتی که جریان شکافنده رخ داده است و نقطه‌های آبی که نشان‌دهنده ارتفاع و دوره تناوب امواج در حالتی که جریان شکافنده رخ نداده است.

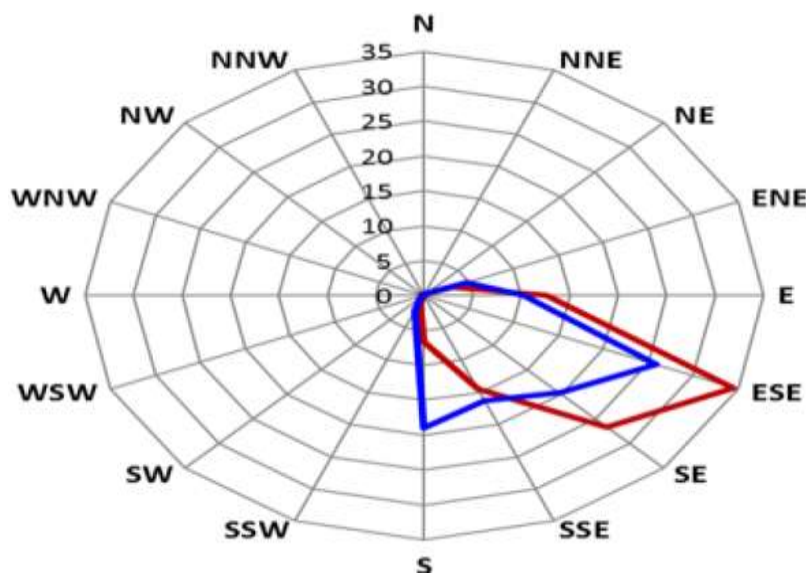
### ۳-۳-۲ جهت موج

یکی از نکات مهم که بر جریان شکافنده مؤثر است، جهت ورودی موج است. لوسین و لاسکودی به ترتیب در سال‌های ۱۹۹۱ و ۱۹۹۸ به این نتیجه رسیدند که جهت موج ورودی نقش مهمی در افزایش خطرآفرینی جریان شکافنده بازی می‌کند. به طور مشابه انگل و همکارانش در سال ۲۰۰۲ نشان دادند که میزان نجات‌یافتگان از جریان شکافنده بهشت به جهت موج ورودی وابسته است. مک کستل<sup>۱</sup> و روشنینگ<sup>۲</sup> در سال ۲۰۱۱ به این نتیجه رسیدند که زاویه برخوردی موج باعث ایجاد تفاوت در فاصله‌ی بین کanal‌های شکافی و عدم ثبات در مدل و بنظمی در کanal‌های شکافی و توسعه در پشته‌های ساحلی می‌شود و در صورتی که زاویه برخوردی موج به صفر میل کند میزان انتقال جریان طولی به میزان قابل توجهی افزایش می‌یابد. دیوسک و سیم در سال ۲۰۱۳ با استفاده از تجزیه و تحلیل داده‌های جهت امواج که از شناور ۴۱۱۰ به دست می‌آمد، به این نتیجه رسیدند که شدت جریان

<sup>1</sup>Castelle

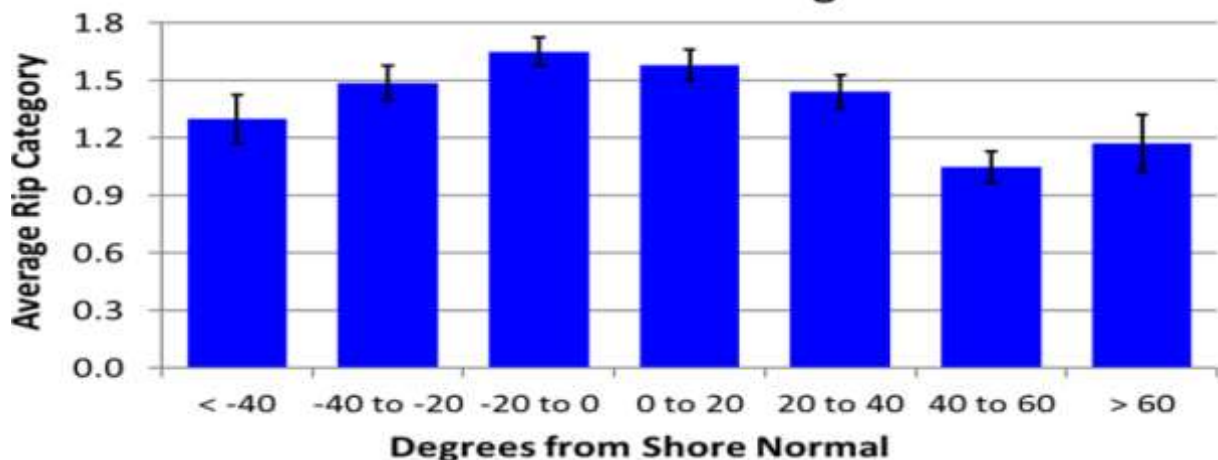
<sup>2</sup>Ruessink

شکافنده زمانی ماکزیمم است که جهت متوسط امواج به صورت عمود به ساحل نزدیک شود. آن‌ها جهت متوسط امواج را در حالتی که جریان شکافنده رخ می‌دهد و در حالتی که جریان شکافنده رخ نمی‌دهد با استفاده از شناور به دست آورند که شناور ۱۶ جهت متوسط موج را نشان داد. با توجه به شکل زیر جهت موج مناسب برای جریان شکافنده در ساحل رایت سیویل در جهت شرق و جنوب شرقی بود، به صورتی که ۶۱ درصد جریان شکافنده بین این محدوده رخ داده است؛ که در شکل ۴-۲ به خوبی قابل مشاهده می‌باشد.



شکل ۴-۲- مقایسه چندضلعی به دست آمده از وصل کردن ۱۶ نقطه ایی که جهت متوسط موج را نشان می‌دهد در حالت وقوع و عدم وقوع جریان شکافنده، چند ضلعی قرمز در حالتی که جریان شکافنده رخ می‌دهد و چندضلعی آبی در حالتی که جریان شکافنده رخ نمی‌دهد.

وقتی جریان شکافنده به صورت موازی به ساحل نزدیک می‌شود، از شدت جریان شکافنده کاسته می‌شود که در شکل ۵-۲ این نتیجه به خوبی قابل مشاهده است.



شکل ۲-۵-۵- میانگین دسته‌بندی جریان شکافنده بر اساس میانگین جهت موج نسبت به خط ساحلی، خط مشکی نشان‌دهنده خطای استاندارد از میانگین است.

#### ۴-۳-۲ عمق آب

مک ماهان و همکارانش در سال ۲۰۰۵ با توجه به داده‌های آزمایشگاهی و میدانی به این نتیجه رسیدند که قدرت جریان شکافنده با افزایش انرژی موج و کاهش عمق آب افزایش می‌یابد.

#### ۴-۳-۳-۵ انرژی جزر و مدي

کامینز<sup>۱</sup> در سال ۲۰۰۶ با استفاده از آمار نجات‌یافتگان و بررسی داده‌های باد و موج در ولوسیا فلوریدا به این نتیجه رسیدند که خطر نسبی جریان شکافنده زمانی که ارتفاع جزر و مدي کم است، افزایش پیدا می‌کند. بری نای و همکارانش<sup>۲</sup> در سال ۲۰۰۹ به این نتیجه رسیدند که جریان شکافنده در جزر و مد بالا فعال نیست. دیوسک در سال ۲۰۱۱ با استفاده از یک جعبه‌ابزار منبع باز DPWP تمام داده‌های تجزیه و تحلیل طیف موج جهت‌دار ناشی از ADSPS را پردازش می‌کند و با استفاده از بررسی میزان نجات‌یافتگان در کارولینای شمالی به این نتیجه رسید که جریان شکافنده در مناطقی که ارتفاع جزر و مدي کمتری دارند با احتمال بیشتری تشکیل می‌شوند.

<sup>1</sup>Cummins

<sup>2</sup>Bruneau et al

## ۶-۳-۲ باد

می‌دو و همکارانش در سال ۲۰۰۰ همان‌طور که در جدول ۱-۲ مشاهده می‌شود به این نتیجه رسیدند که با افزایش سرعت باد در زاویه‌های بین ۴۰ تا ۱۱۰ درجه سرعت جریان به میزان بیشتری نسبت به زاویه‌های بین ۳۰ تا ۱۶۰ درجه یا ۳۴۰ درجه، افزایش می‌یابد.

جدول ۱-۲- تأثیر سرعت و جهت باد بر سرعت جریان شکافنده

WIND FACTORS	East Central Florida LURCS Checklist Most FAVORABLE FOR MOST FAVORABLE FOR	
	RIP CURRENT	LONGSHORE CURRENT
SPEED(knot)/DIRECTION(degree)	40-110	120-160 , 340-30
5	0.5	0
5-10	1	0.5
10	1.5	1
10-15	2	1.5
15	3	2
15-20	4	3
20	5	4
20-25	+5	4

## ۷-۳-۲ هیدروگرافی

پارامترهای شیب ساحل، اندازه متوسط رسوب، تنش برشی کف، شکافی در ساحل و وجود کانال شکافی در تعیین تأثیر هیدروگرافی ساحل بر سرعت جریان شکافنده مورد بررسی قرار گرفته اند.

- شیب ساحل

مک ماهان و همکارانش در سال ۲۰۰۸ مشاهده کردند که تعداد جریان شکافنده در ساحلی با شیب ملایم بیشتر از ساحلی با شیب تند است. ولی پور و همکارانش در سال ۲۰۱۲ به این نتیجه رسیدند که تغییر شیب ساحل بر روی الگوی جریان شکافنده تأثیرگذار است.

- اندازه متوسط ذرات رسوب

ولی پور و همکارانش در سال ۲۰۱۲ به این نتیجه رسیدند که تغییر اندازه متوسط ذرات رسوب بر روی عمق کanal شکافی و میزان انتقال رسوب در کanal شکافی تأثیرگذار است و بر روی الگوی جریان شکافنده بی اثر است.

- تنش برشی کف

ولی پور و همکارانش در سال ۲۰۱۲ به این نتیجه رسیدند که تغییر تنش برشی کف بر روی الگوی جریان شکافنده مؤثر است.

آنها همچنین به این نتیجه رسیدند که هیدرو گرافی بستر شامل شیب ساحل و اندازه متوسط رسوب و تنش برشی کف بر روی میزان و چگونگی فرسایش و تنهشینی در کanal شکافی اثرگذار است.

- شکافی

حسین یثوبی در سال ۱۳۸۸ شکل بستر را به عنوان عامل ایجاد جریان شکافنده معرفی کرد. او نشان داد که وجود توپوگرافی به صورت پسته سرتاسری و یا به صورت پسته-شکاف از مهم‌ترین عوامل ایجاد جریان شکافنده است، به همین دلیل برای پیش‌بینی این جریان قبل از هر چیز اطلاع از شکل بستر ضروری به نظر می‌رسد. کاکو و همکارانش<sup>۱</sup> در سال ۲۰۰۷ در مطالعات خود با استفاده از مطالعات میدانی و شبیه‌سازی نشان دادند فاصله و نحوه شکل‌گیری کanal‌های شکافی تابعی از ویژگی‌های موج

---

<sup>1</sup>Coco et al

است و همچنین نشان دادند که عدم پیش‌بینی درست کanal‌های شکافی به علت داده‌های بصی مترب ضعیف است. بهنام بزرگ در سال ۲۰۱۱ برای در نظر گرفتن تأثیر کanal شکافی بر روی جریان شکافیده، ساحلی بدون کanal شکافی با شبیث ثابت و ساحلی با کanal شکافی را مدل‌سازی کردند. وجود کanal شکافی تأثیر به سزاپی در قدرت جریان شکافنده دارد به صورتی که سرعت جریان شکافنده در ساحلی با کanal شکافی ۲۰ برابر بیشتر از زمانی است که کanal شکافی در آن ساحل وجود ندارد. علی قربانی و امیرحسین رسولی جمنانی در سال ۲۰۱۲ با استفاده از نرم‌افزار مایک مژول BW کanal شکافی را مدل‌سازی کردند و اثرات کanal شکافی در ایجاد جریان شکافنده را مورد بررسی قراردادند. در این مدل‌سازی شبیث ثابت و کanal شکافی در مرکز مدل مدل‌سازی شد. آن‌ها به این نتیجه رسیدند که سرعت جریان شکافنده در ساحلی با کanal شکافی بیشتر از ساحلی بدون کanal شکافی است.

#### ۴-۲- پیش‌بینی جریان شکافنده

برای پیش‌بینی و بررسی جریان شکافنده به صورت کلی از سه روش که شامل اندازه‌گیری‌های آزمایشگاهی، مشاهدات محلی و منطقه‌ایی یا مطالعات میدانی، مدل‌های کامپیوتری و عددی و یا به صورت ترکیبی، استفاده می‌شود.

#### ۴-۱- اندازه‌گیری‌های آزمایشگاهی

شامل مجموعه فنون و رویه‌هایی است که در محیط مصنوعی و کنترل شده آزمایشگاه به منظور اعمال کنترل و دست‌کاری روی متغیرهای مستقل و مشاهده نتیجه آن‌ها روی متغیرهای وابسته صورت می‌گیرد. این روش بیشتر در علوم طبیعی نظری شیمی، زیست‌شناسی، فیزیک و غیره صورت می‌گیرد. آزمایشی علمی اجتماعی روش بسیار کنترل شده به منظور تعیین رابطه مستقیم بین دو متغیر مثلاً دما و آشوب است. پژوهشگر باید روی محیط کنترل داشته باشد تا مانع تأثیر متغیرهای بیرونی بر نتایج پژوهش شود.

هالر<sup>۱</sup>، دالریمپل<sup>۲</sup> و اسونسن<sup>۳</sup> در سال ۲۰۰۰ بزرگترین پروژه آزمایشگاهی در زمینه جریان شکافنده را در دانشگاه دلاور آمریکا با همکاری مرکز تحقیقات کاربردی سواحل انجام دادند. آزمایش‌ها در یک مخزن موج به ابعاد ۱۷.۲\*۱۸.۲ متر که سیستم تولید موج در آن از ۳۴ پدال که به صورت رفت و برگشتی امواج را به صورت سطحی ایجاد می‌کردند انجام شد. در این آزمایش، ساحلی با شیب ۱:۳۰ که از قسمت ایجاد امواج به سمت دیواره روبرویی مخزن امتداد پیدا می‌کرد استفاده شد، یک سیستم پشتہ-شکاف به گونه‌ای در بستر قرار گرفتند که فاصله تاج پشتہ تا محل تولید امواج ۱۲ متر و نیز فاصله‌های لبه‌های روبه‌دریا و رو به ساحل آن تا محل تولید امواج به ترتیب ۱۱.۱ و ۱۲.۳ متر بوده است. نسبت فضای جریان برگشتی به عرض منطقه شکست موج در طول آزمایش در فاصله ۲.۷-۴ قرار داشت که در بازه ۱.۵-۸ که هانتلی و شورت در سال ۱۹۹۲ در یک اندازه‌گیری میدانی به دست آورده قرار می‌گرفت. سیستم پشتہ از سه مقطع که از یکی مقطع اصلی با طول تقریبی ۷.۳۲ متر و دو مقطع دیگر با نصف طول مقطع اصلی حدوداً ۳.۶۶ متر در طول ساحل و در فاصله گفته شده قرار گرفتند و به منظور اطمینان از تقارن پشتہ‌ها موج به مرکز پشتہ‌ها برخورد کرد و در نتیجه دو شکاف به عرض ۱.۸۲ متر بین پشتہ‌ها ایجاد شد؛ که محل ایجاد جریان برگشتی است.

در این آزمایش از ده دستگاه موج نگار و سه عدد سرعت‌سنج آکوستیک داپلر استفاده شد که همزمان داده‌ها را به صورت دیجیتال ثبت می‌کردند. نتایج این آزمایش‌ها که بزرگترین تحقیق آزمایشگاهی در این زمینه است به عنوان مرجع برای تعیین صحت و سقم بسیاری از معادلات ریاضی و مدل‌های کامپیوتری ارائه شده است.

## ۲-۴-۲ مطالعات میدانی

یکی از روش‌های دقیق برای مطالعه جریان شکافنده استفاده از نرم‌افزارهایی است که توانایی شبیه‌سازی جریان شکافنده را داشته باشد. به مطالعه آزمودنی‌ها در محیط طبیعی خود می‌پردازد و شامل جمع‌آوری داده‌های اولیه یا اطلاعات جدید از خود آزمودنی‌هاست. برای جریان شکافنده این جمع‌آوری داده بیشتر از طریق مشاهده و تجهیزات حاصل می‌شود.

---

<sup>۱</sup>Haller  
<sup>۲</sup>Dalrymple  
<sup>۳</sup>svendsen

اندازه‌گیری میدانی مشخصات جریان‌های شکافنده به دلیل ماهیت ناپایدارشان و طبیعت متلاطم ناحیه فعال ساحلی از مشکل‌ترین اندازه‌گیری‌های مهندسی به شمار می‌آید. شپارد، امری<sup>۱</sup> و لافند<sup>۲</sup> در سال ۱۹۴۱ جزو اولین کسانی بودند که بر روی جریان شکافنده تحقیقاتی انجام دادند، آن‌ها برای بررسی جریان شکافنده از روش میدانی بهره گرفتند و به این نتیجه رسیدند که جریان برگشتی جریانی باریک با پهنای ۱۰ تا ۲۰ متر در جهت طولی ساحل، است و عموماً در کل ستون آب موجود گسترش می‌یابد و معمولاً تا بعد از منطقه شکست موج امتداد می‌یابد. کوارتل<sup>۳</sup> در سال ۲۰۰۷ در مطالعه خود از پانزده ماه تصاویر ویدیویی برای توصیف مکانی و سواحل هلند استفاده کرد و با استفاده از تصاویر ویدیویی به تجزیه و تحلیل تنوع مکانی و زمانی کanal جریان شکافنده پرداخت. نوار خطوط جزر و زیر خطوط جزر و مد با استفاده از تصاویر آرگوس<sup>۴</sup> در مکانی با حداکثر جریان طولی و جریان عرضی در کanal جریان شکافنده، موردنرسی قرار گرفت. متوسط فاصله جزر و مد ۲۴۳ متر بود ولی این فاصله در همه‌جا منظم نبود. برخی از ریپ‌ها در طول سقوط (افتادن) جزر و مد پر می‌شوند ولی اکثریت همچنان باز هستند. آن کanal‌های جریان شکافنده جزر و مدی پرشده بیشتر به سمت ساحل می‌باند و انتقال در جهت جریان طولی آرام‌تر از کanal‌های جریان شکافنده جزر و مدی باز است. خطوط نوار جزر همیشه در ترکیب با نوار زیر جزر و مد همراه است این موضوع به خوبی نشان‌دهنده آن است که مورفولوژی جزر تحت اثر تنوع جریان طولی زیر جزر و مدی است. شفعیی ثابت و بارانی در سال ۲۰۱۱ برای پیش‌بینی جریان شکافنده از روش میدانی استفاده کرد، او با استفاده از شناورهای جی‌پی‌اس ردیاب جریان نقشه هیدرو گرافی بزرگ مقیاس یک ناحیه حادثه‌خیز در بندر انزلی در دو سال متوالی را تهیه کرد و برلی اولین بار وجود جریان شکافنده در ساحل دریای خزر و مشخصات آن‌ها را تعیین کرد. شناورهای جی‌پی‌اس ردیاب جریان، برای نخستین بار در ایران طراحی و ساخته شد و صحت عملکرد آن‌ها از طریق مقایسه سرعت‌های اندازه‌گیری شده با سرعت‌های به‌دست‌آمده از یک دستگاه RCM9 نصب گردیده در ساحل دریای خزر مورد ارزیابی قرار گرفت. او عملکرد شناور جی‌پی‌اسی که در این تحقیق استفاده کرده بود با دو شناور جی‌پی‌اس که در سال‌های

<sup>۱</sup>Emery

<sup>۲</sup>Lafond

<sup>۳</sup>Quartel

<sup>۴</sup>Argus

۲۰۰۴ و ۲۰۰۳ در آمریکا و استرالیا ساخته شده و برای اندازه‌گیری جریان در نواحی ساحلی مورداستفاده قرار گرفته‌اند؛ مقایسه کرد. هم‌زمان با کاری که شفعیی ثابت و بارانی در ایران انجام داده بود، یک شناور جی‌پی‌اس ساخت آمریکا در سال ۲۰۰۹ برای اندازه‌گیری مشخصات جریان‌های شکافنده در ساحل کالیفرنیا به کار گرفته شده است؛ لیکن هزینه ساخت شناور طراحی‌شده توسط شفعیی ثابت و بارانی ۲۵٪ از نمونه اخیر آمریکایی کمتر گردید. او برای به دست آوردن تصویری از مشخصات جریان شکافنده در ساحل جنوبی دریای خزر در بندر انزلی از ۵ شناور جی‌پی‌اس ردیاب جریان استفاده کرد. سه اندازه‌گیری میدانی در ناحیه ساحلی این بندر در تابستان سال‌های ۱۳۸۷ و ۱۳۸۸ انجام شد و در دو اندازه‌گیری از حرکت شناورهای جی‌پی‌اس، چرخش جریان سطحی ساحلی و ایجاد جریان شکافنده به خوبی قابل تشخیص بود. جریان شکافنده در این ناحیه ساحلی به وسیله کانال‌های شکافی موجود در پشت‌های رسوبی ماسه‌ای کنترل می‌شود و در عرضی بین ۱/۵ تا ۲ برابر عرض ناحیه خیزابی از خط ساحلی گسترش می‌یابد. او این اندازه‌گیری‌ها را در شرایط امواج متوسط و نسبتاً قوی دریا انجام و نتایج حاصله نشان داد که جریان‌های شکافنده ایجادشده، قادرند حتی شناگران قوی را با خود به خارج از ناحیه خیزابی ببرند.

### ۳-۴-۲ مدل‌های کامپیوتی و عددی

منطقه شبیه‌سازی کامپیوتی یا شبیه‌سازی رایانه‌ای به اجرای یک شبیه‌سازی با استفاده از یک برنامهٔ کامپیوتی را می‌گویند طوری که این برنامه کامپیوتی مدل شبیه‌سازی را تعریف کند. شبیه‌سازی کامپیوتی بستگی به برنامه کامپیوتی و مدل شبیه‌سازی‌شده آن دارد که برخی، داده‌ها را در چند دقیقه اجرا و برخی از شبکه‌های مبتنی بر کامپیوت تشکیل شده و برای ساعتها داده‌ای را تحلیل می‌کنند. مقیاس وقایع شبیه‌سازی‌شده با شبیه‌سازی‌های کامپیوتی به مراتب بسیار سریع‌تر و بالاتر از شیوه‌های سنتی آن که توسط یک یا چند فرد و ریاضیات روی کاغذ انجام می‌شود، می‌باشد (ویکی پدیا).

به موازات آزمایش‌ها انجام شده به صورت مدل فیزیکی و نیز اندازه‌گیری میدانی جمعی از متخصصان این زمینه از سال ۱۹۹۲ در دانشگاه دلاور آمریکا بر روی مدل عددی و کامپیوتی این جریان تلاش‌های بسیاری انجام دادند که نهایتاً منجر به ایجاد یک برنامه کامپیوتی به نام SHORECIRC

شده که نشان داده است توانایی خوبی در مدل کردن بسیاری از پدیده‌های منطقه ساحلی خصوصاً تخمین جریان برگشتی دارا می‌باشد. زهرا غلامی و همکاران در سال ۱۳۸۸ در مقاله خود تحت عنوان پهنه‌بندی جریان‌های شکافنده در سواحل غرب گیلان، پهنه‌بندی جریان‌های مزبور بر اساس شکل بستر و با استفاده از مدل مدل‌سازی امواج بوسینیسک نرم‌افزار MIKE21 انجام دادند، درنهایت در هر ۸۰۰ متر یک کanal شکافنده ثابت مشاهده گردید و سرعت جریان‌های شکافنده نیز با در نظر گرفتن عوامل مؤثر یعنی شکاف‌ها و پشت‌های بستری، قرارگیری عمودی ساحل و امواج تک‌فام ورودی عمود بر ساحل و با فرض اینکه تک‌فام بودن موج ورودی و فواصل به نسبت زیاد جریان‌های شکافنده در این منطقه در بیشترین مقدار خود حدوداً به ۲ متر بر ثانیه رسید؛ بنابراین تمامی عواملی که فاصله جریان‌های شکافنده را کاهش می‌دهد، سرعت جریان‌های شکافنده را نیز کاهش خواهد داد. کستل با همکاری روسینیک در سال ۲۰۱۱ با استفاده از یک مدل غیرخطی مورفودینامیکی<sup>۱</sup> شکل‌گیری و پس از آن تکامل غیرخطی کanal جریان شکافنده و اثر ارتفاع موج، دوره تناوب و زاویه برخورد موج بر روی کanal جریان شکافنده را مورددبررسی قراردادند و در همان سال کستل با همکاری داریاربیر و با استفاده از همان مدل غیرخطی به بررسی شکل‌گیری و تکامل غیرخطی کanal جریان شکافنده با محدوده جزر و مدى مختلف و اثر جزر و مد در تشکیل و تکامل کanal جریان شکافنده پرداختند. قربانی و رسولی جمنانی در سال ۲۰۱۲ در مطالعه خود با استفاده از نرم‌افزار مایک مژول BW کanal جریان شکافنده را مدل‌سازی کردند و اثرات کanal جریان شکافنده در ایجاد جریان‌های شکافنده را مورددبررسی قراردادند. ولی پور و همکارانش در سال ۲۰۱۲ با استفاده از نرم‌افزار مایک مژول SW و FLOW MODEL FM اثر تغییر پارامترهای بستر را بر روی الگوی جریان شکافنده و انتقال رسوب در کanal شکافی را مورددبررسی قراردادند. یاچیما و همکارانش در سال ۲۰۱۳ اثر جریان بر روی موج که شامل اختلاف ارتفاع با موج آغازین، تغییر داپلیر و شکست موج، برای تشکیل کanal جریان شکافنده با استفاده از مدل BAROTROPIC ROME مورد بررسی قراردادند. با تغییر این عوامل فاصله کanal‌های جریان شکافنده افزایش می‌یابد و با افزایش فاصله کanal‌های جریان

---

<sup>۱</sup>Time-varying versus time – invariant wave forcing

شکافنده از هم عمق آب در کanal جریان شکافنده کاهش می‌یابد که در نتیجه میزان تپه‌های مغروق هلالی کاهش می‌یابد.

#### ۴-۴-۲ نمونه ایی از تحقیقات ترکیبی از دو روش

بوئن و اینمن در سال ۱۹۶۹ نحوه شکل‌گیری جریان برگشتی را به استفاده از روش آزمایشگاهی و میدانی موردنرسی قراردادند. کالوت و همکارانش<sup>۱</sup> در سال ۲۰۰۷ از مطالعات میدانی و عددی استفاده کردند و نشان دادند فاصله و نحوه شکل‌گیری کanal‌های شکافی تابعی از ویژگی‌های موج است و همچنین نشان دادند که عدم پیش‌بینی درست کanal‌های شکافی به علت داده‌های بصی متغیر ضعیف است. آزاده ولی پور و همکارانش در سال ۱۳۹۰ در سواحل استان مازندران از طریق محاسبه شدت نیروی واداشت پس از انتخاب هفت ایستگاه مختلف در سراسر ساحل از طریق مطالعه گلموج‌های به دست آمده از مژول SW نرم‌افزار MIKE21 به بررسی شرایط هیدرودینامیکی حاکم بر سواحل این استان پرداخته شد. همچنین پس از محاسبه شبیه عمومی ساحل با کمک نرم‌افزار ArcGIS پهنانی منطقه خیزاب ساحلی و فاصله کanal‌های جریان برگشتی در هر ایستگاه مورد محاسبه قرار گرفت. به این ترتیب از طریق مقایسه شدت نیروی واداشت در ایستگاه‌های مختلف نوع جریان برگشتی و نحوه عملکرد آنها در هر ایستگاه مورد مطالعه قرار گرفت. در نتایج اصلی این تحقیق مشخص شد که سواحلی با شدت نیروی واداشت بیشتر (ایستگاه‌های بابلسر و نفت چال) اصولاً پایدارترند و جریان‌های برگشتی در آنها از شدت بیشتری برخوردار است. همچنین مشخص شد نوع جریان‌های برگشتی در اکثر اوقات سال در سواحل این استان خصوصاً در سواحل مرکزی و شرقی (ایستگاه‌های نکا، فرحآباد، لاریم، نفت چال، بابلسر و نور) از نوع جریان‌های برگشتی بستر (فرسایشی و نهشتی) می‌باشند. در حالی که سواحل غربی استان (ایستگاه نشتارود) جریان‌های برگشتی اغلب بی‌دوام‌اند و از نوع جریان‌های برگشتی اغلب بی‌دوام‌اند و از نوع جریان‌های برگشتی کوچک و گذرا می‌باشند. برونيو و همکارانش در سال ۲۰۱۱ از مدل‌سازی که ترکیبی از مدل SW و مدل FM بود، استفاده کردند که ورودی‌های این مدل‌سازی از داده‌های آزمایش بود که در سال ۲۰۰۷ در یک

---

<sup>۱</sup>Calvete et al

آزمایش ۵ روزه در ساحل بیسکارس به دست آمده بود. در این پژوهش با به کار گیری این دو مدل به بررسی عوامل مؤثر بر جریان شکافنده پرداختیم.

## فصل ۳ مواد و روش‌ها

### **۱-۳- مقدمه**

جهت بررسی دقیق‌تر جزئیات مطرح شده در یک پژوهش، نیاز است که منطقه مطالعاتی، موارد مورد استفاده شده در پژوهش، اطلاعات و داده‌های موردنیاز برای انجام پژوهش به تفضیل بیان شود. از این‌رو در این فصل به معرفی منطقه مطالعاتی و موارد مورد استفاده شده در پژوهش و مواد و اطلاعات موردنیاز برای انجام پژوهش پرداخته شده است.

در این بخش پس از تشریح منطقه مطالعاتی، به معرفی موارد استفاده شده در این پژوهش پرداخته شده است. از نرم‌افزار MIKE جهت بررسی جریان شکافنده استفاده شده است. از این‌رو در این بخش به معرفی این نرم‌افزار و ماثول‌های مورد استفاده آن در این پژوهش و روش‌های حل معادلات توسط آن‌ها پرداخته می‌شود. در قسمت بعدی به بررسی اطلاعات موردنیاز برای مدل‌سازی جریان، شرایط اولیه و شرایط مرزی پرداخته شد. درنهایت به چگونگی استخراج رایطه سرعت جریان شکافنده پرداخته شده است.

### **۲-۳- منطقه مطالعاتی**

برای بررسی عوامل مؤثر بر سرعت جریان شکافنده، ساحلی که اطلاعات آن در دسترس باشد و برای تشکیل جریان شکافنده مستعد است، انتخاب شد.

### **۳-۲-۱- انتخاب سواحل شمال کشور**

آنچه در سواحل ایران برای شناگران اهمیت دارد و برای آنان خطرساز است، موج و جریان‌های حاصل از موج در ناحیه کم‌عمق ساحلی (عمق آب به طول موج کمتر از ۰۰۵) است. آب کم‌عمق ناحیه ایی است که در آن موج شکست می‌یابد و جریان‌های ساحلی شدیدی در آن وجود دارد. سالانه حدود ۲۵۰ نفر در سواحل خزر (عمدتاً ساحل گیلان و مازندران) گرفتار امواج دریا و جریان‌های ناشی از آن‌ها می‌شوند و می‌میرند. در سواحل دریایی عمان و خلیج‌فارس هم مخاطرات ناشی از جریان شکافنده وجود دارد و ساکنان مناطق ساحل‌نشین و گردشگران را در معرض تهدید قرار می‌دهد؛ اما به علت حضور تعداد محدود گردشگر آمار غرق شدگان به مراتب نسبت به دریایی خزر کمتر می‌باشد.

مرگ و میر ناشی از شنا در خزر قابل مقایسه با تلفات زلزله‌های متوسط در ایران است (پورعلی و رضایی، ۱۳۹۱).

### ۲-۲-۳ انتخاب سواحل اندیزی

رایت<sup>۱</sup> و شرت در سال ۱۹۸۵ سواحل مختلف جهان با توجه به شرایط هیدرودینامیکی حاکم بر ساحل و سرعت تهشیینی ذرات رسوبی<sup>۲</sup> در هر بخش ساحل، در سه حالت اصلی دسته‌بندی کردند که شامل حالت‌های پراکنا<sup>۳</sup>، بازتابان<sup>۴</sup> و میانه<sup>۵</sup> می‌باشد (ولی پور و همکارانش، ۱۳۸۵).

سواحل پراکنا بیانگر بیشترین انرژی در ساحل‌اند که به طور دوره‌ای در معرض امواج بلند قرار می‌گیرند. از مشخصات بارز این سواحل، منطقه خیزاب ساحلی گستردگی با شیب اندک است. انرژی امواج در این نوع سواحل به وسیله یک موج شکنای آشفته در ساحل پراکنده می‌شود، امواج فروودی به تدریج به سمت ساحل انرژی خود را از دست می‌دهند و در غالب جریان‌های برگشتی بستر و امواج ایستاده فروگرانشی بر منطقه فعال ساحلی حاکم می‌شوند.

$$\Omega = \frac{H_b}{W_s \times T} \quad (1-3)$$

$$\Sigma = \frac{\tan \beta}{\left(\frac{H_0}{L_0}\right)^{0.5}} \quad (2-3)$$

$$k^x = \frac{(H_b)^2}{g \times d_{50} \times (T)^2} \quad (3-3)$$

در معادلات بالا پارامترها به صورت زیر معرفی می‌گردد:

$\Omega$ : شاخص‌های مختلف مربوط به تعیین حالت ساحل       $H_b$ : ارتفاع موج شکنا

سرعت نهشینی ذرات رسوبی       $T$ : دوره تناوب       $\beta$ : زاویه شکست موج       $d_{50}$ : ارتفاع موج در

<sup>۱</sup>Wright

<sup>۲</sup>Ws

<sup>۳</sup>dissipative

<sup>۴</sup>reflective

<sup>۵</sup>intermediate

آب عمیق

$L_0$  : طول موج در آب عمیق

$g$  : شتاب جاذبه

$d_{50}$  : قطر ۵۰٪ رسوبات

گرانشی

این سواحل اغلب هنگامی ایجاد می‌شوند که  $\Sigma < 0.23$  و  $\Omega > 0.23$  وقتی  $< 0.23$  و  $\Sigma > 0.23$  وقتی برقرار باشند.

در حالی که سواحل میانه سواحلی‌اند که در حد واسطه بین سواحل پراکنا با انرژی بالا و سواحل بازتابان با انرژی پایین‌تر قرار دارند. تغییرات مکانی امواج در این سواحل بیشتر و شبیه منطقه نزدیک ساحل تندتر است، در نتیجه امواج تابشی هنگامی که تیزی نسبتاً کمی دارند، تمایل به شکستن در قالب امواج شکنای چرخان یا آشفته دارند. از ویژگی‌های برجسته سواحل میانه، دارا بودن منطقه ساحلی افقی تکه‌تکه با سدهای رسوی و جریان‌های تند بازگشته است (ارتش آمریکا، ۲۰۰۲).

این سواحل اغلب هنگامی ایجاد می‌شوند که روابط  $\Sigma \leq 1$  و  $\Omega \leq 0.23$  و  $\leq 20$  بر ساحل  $k^x = 10$  برقرار باشد. به طوری که در این سواحل امواجی مرتفع تا متوسط (۰.۵ تا ۰.۰) بازگشته است.

سواحل بازتابان سواحلی با پوشش ماسه‌ای ریز تا درشت‌دانه‌اند که در صورت حضور امواج کوتاه با دوره تناب بله در طیف انرژی پایین‌تری ایجاد می‌شوند. این نوع سواحل نسبتاً پایدارند و هنگامی ایجاد می‌شوند که روابط  $\Sigma < 1$  و  $\Omega < 10$  برقرار باشند (ترن هیلی، ۱۹۹۷)،<sup>۱</sup> (دین، ۲۰۰۳).<sup>۲</sup>

برای بررسی جریان شکافنده، به علت آنکه در حالت میانه منطقه ساحلی دارای جریان‌های تند بازگشته منطقه موردمطالعه ما باید ساحل میانه با پوشش رسوی ماسه‌ای ریز تا متوسط باشد و علاوه بر آن تقریباً همه ساحل گیلان و بخش خاوری مازندران دارای ساحل ماسه‌ای است که در ساحل ماسه‌ای نشانه‌هایی همانند شکل هلال یافت می‌شود که نوک هلال جایی است که جریان شکافنده پدیدار می‌شود (تورنتون و همکارانش، ۲۰۱۵).<sup>۳</sup>

<sup>۱</sup>Trenhaile

<sup>۲</sup>Dean

<sup>۳</sup>Thornton et al

شهرستان بندر انزلی دارای ۴۷ کیلومتر نوار ساحلی است که ۲۰ کیلومتر در اختیار مناطق نظامی و ۲۷ کیلومتر دیگر نیز شامل طرح سالم‌سازی دریا و همچنین نقاط خطرآفرین محسوب می‌شود.

بر اساس گزارش‌ها، در نیمه اول سال ۹۳، ۲۸ نفر در شهرستان بندر انزلی غرق شدند، در حالیکه که این میزان در سال ۹۲، ۱۷ نفر بوده است. این تعداد غرقی رشد ۶۰.۷ درصدی نسبت به مدت مشابه سال ۹۲ را نشان می‌دهد و این سؤال را به ذهن نزدیک می‌کند که علت این افزایش چیست.

علل غرق‌شدنی در سواحل بندر انزلی به ویژگی‌های خاص ساحل بندر انزلی وابسته است که عبارت‌اند از:

- ✓ افزایش فراوانی هوای مساعد در فصل شنا در مقایسه با سال‌های گذشته (کاهش بارندگی)
- ✓ افزایش فراوانی مسافر در ایام تابستان
- ✓ تغییرات متوالی عمق کف دریا در سواحل
- ✓ شب تند دریایی خزر در محدوده بندر انزلی
- ✓ وجود امواج بلند و سنگین در سواحل دریایی خزر در حوزه بندر انزلی
- ✓ فراوانی بالای وزش بادهای شمال و شمال غرب که منجر به افزایش ارتفاع موج در سواحل بندر انزلی می‌گردد.
- ✓ وجود موج شکافنده در سواحل بندر انزلی که در شرایط جوی مناسب (عدم کولاک و وزش بادهای شدید) با ایجاد کشش در دریا منجر به غرق گردیدن شناگران می‌شود.
- ✓ از ویژگی‌های دریایی خزر وزش بادها و موج‌های محلی است، بهنحوی که از نقطه به نقطه‌ای دیگر با فاصله تقریبی ۱۵ تا ۲۰ کیلومتر میزان و شدت موج و سرعت وزش باد تفاوت دارد و این تنوع در سواحل منجر به افزایش ریسک بروز حادثه می‌گردد (وب سایت رسمی روزنامه خزر، ۱۳۹۴).

از این رو با توجه به اطلاعاتی که از مرکز ملی مطالعات و تحقیقات دریایی خزر تهیه شده بود، محدوده ایی از ساحل انزلی به طول ۲۰ کیلومتری و عرض ۵ کیلومتر از ارتفاع صفر تا ۲۸ متری، مطابق شکل ۱-۳ مورد بررسی قرار گرفت.



شکل ۳-۱-۳- سواحل انزلی

### ۳-۳- موارد مورد استفاده در این پژوهش

مدل‌سازی یکی از روش‌های ذهنی بشر می‌باشد که نه تنها برای اهداف علمی، بلکه برای انجام امور روزمره بشر به دفعات مورداستفاده قرار می‌گیرد و به عنوان یکی از ابزارهای ساده‌سازی است. یک مدل، یک انتزاع یا تقریبی است که برای شبیه‌سازی واقعیت استفاده می‌شود. با وجود مشکلاتی که در کارهای آزمایشگاهی از قبیل خطای وسایل آزمایشگاهی، خطای انسانی و ... وجود دارد و عدم امکان ایجاد برخی شبیه‌سازی‌های آزمایشگاهی مدل‌سازی‌های نرم‌افزاری کمک شایانی به پیشرفت در زمینه‌های علمی می‌کند.

برای شبیه‌سازی وقایع فراساحل و فرو ساحل از نرم‌افزارهای زیادی استفاده می‌شود. شبیه‌سازی مدل شامل رشد، تجزیه و انتقال و تغییر شکل موج‌های تولیدشده در منطقه ساحل و فراساحل می‌باشد. نرم‌افزارهای مورد کاربرد برای شبیه‌سازی جریان شکافنده همان‌طور که در فصل دو به تفصیل گفته شد عبارت‌اند از: BAROTROPIC, SHORECIRC ROMS و مایک ۲۱ ورژن BW یا ورژن SW و FM که در این پژوهش از نرم‌افزار مایک ۲۱ ورژن SW برای مدل کردن تنش تشعشعی و جهت مدل‌سازی جریان، بهره گرفته شده است. سیستم مورد استفاده دارای هسته‌ی (cor i7-4790k 4.0 GHz @ 4.0 GHz) با ۳۲ گیگا بایت رم می‌باشد که ویندوز هشت ۶۴ بیتی بر روی آن نصب شده است. مازول‌های امواج طیفی MIKE21 با استفاده از ساختار نامنظم مش بندی و حل معادلات از روش احجام محدود، امواج را مدل‌سازی می‌کند. نتایج حاصل از مدل‌سازی در مازول SW را به مازول FLOW MODEL FM وارد کرده و سرعت جریان شکافنده به عنوان خروجی قابل بررسی خواهد بود.

برای به دست آوردن رابطه سرعت جریان شکافنده از رگرسیون غیرخطی و روش درصد خطای میانگین استفاده می‌شود. این عمل در محیط اکسل و به کمک برنامه SOLVER که در خود نرم‌افزار اکسل تعییه شده است انجام می‌گیرد. روش کار بدین صورت است که یکی از آمارهای ارزیابی خطای

به عنوان تابع هدف انتخاب خواهند شد و ضرایب مجھول رابطه سرعت جريان شکافنده به عنوان متغیرهای تصمیم‌گیری معرفی می‌گردد. برنامه SOLVER این ضرایب را آنقدر تغییر می‌دهد تا مقدار تابع هدف بهینه گردد. بدین ترتیب ضرایب مجھول رابطه سرعت جريان شکافنده تعیین می‌شوند.

### ۲۱-۳-۳ مایک

این مدل عددی یکی از پرکاربردترین مدل‌های عددی برای مدل‌سازی دوبعدی و سه‌بعدی هیدرودینامیکی و انتقال رسوبی و آلودگی در محیط‌های آبی است. این برنامه کامپیوتروی که توسط انسستیتو هیدرولیک دانمارک<sup>۱</sup> و با همکاری انسستیتو کیفیت آب<sup>۲</sup> پایه‌ریزی و به مرور زمان تکمیل و توسعه یافته است، دارای قابلیت‌های محاسباتی و گرافیکی بالایی در زمینه مدل کردن پدیده‌های مربوط به خورها، دریاچه‌ها، نواحی کم‌عمق ساحلی، خلیج‌ها و دریاها می‌باشد.

این نرم‌افزار سیستم جامعی برای مدل کردن جريان‌های آزاد<sup>۳</sup> دوبعدی است که در آن‌ها لایه‌بندی<sup>۴</sup> جريان سیال قابل صرف‌نظر باشد و در عین حال در کامپیوتروهای موجود قابل اجرا است. رقم‌های پسوند ۲۱ از چپ به راست در واقع کاربرد این سیستم برای جريان‌های دوبعدی و یک لایه را بیان می‌کند. علیرغم اینکه برنامه کامپیوتروی MIKE 21 از مدرن‌ترین امکانات نرم‌افزاری بهره گرفته است، به‌طور پیوسته تحت بازنگری قرار داشته و کاربردهای جدیدتری به آن اضافه می‌شود. این مدل با دارا با بهره‌گیری از مازول‌های مختلف، توانایی بررسی پدیده‌هایی همچون موارد زیر را دارا می‌باشد:

- ✓ تغییرات سطح آب و جريان‌های ناشی از پدیده جزر و مد (Tidal Exchange and currents)
- ✓ افزایش ارتفاع سطح آب در اثر بادهای شدید (برکشند طوفان) (Storm Surge)
- ✓ انتشار یا توزیع شوری و حرارت (Heat and Salt Recirculation)
- ✓ بررسی کیفیت آب (Water Quality)
- ✓ انتشار یا توزیع آلودگی از جنس فلزات سنگی (Heavy Metals Dispersion)
- ✓ توزیع امواج در داخل بندرگاه (Harbors-Wave disturbance)
- ✓ بررسی اثرات پدیده تفرق امواج با در نظر گرفتن موج طیفی (Spectral Wave Diffraction)
- ✓ انتشار امواج از منطقه آب عمیق به منطقه ساحلی (Nearshore Spectral Wind-Wave)
- ✓ تعیین مشخصات امواج فراساحل با استفاده از منحنی‌های همفشار (Deep Water Wave Characteristics)

<sup>۱</sup>Danish Hydraulic Institute

<sup>۲</sup>Water Quality Institute

<sup>۳</sup>Free Surface Flows

<sup>۴</sup>Stratification

- ✓ ناوبری در بندرها
- ✓ برآورد نرخ انتقال رسوبات و میزان نهشت و فرسایش در منطقه ساحلی (Longshore Sediment transport rate and erosion and deposition region)

این مدل قادر است با گرفتن اطلاعات اولیه مربوط پارامترهای اساسی و لازم برای امر طراحی در پروژه‌های نظیر ساخت بندرگاه‌ها، انتخاب روش‌های حفاظت سواحل مدل‌های متشابه برای ناوبری و مانور کشتی‌ها، سازه‌های دور از ساحل و حتی خطوط لوله در بستر دریاها را فراهم آورد (سجادیانفرد، ۱۳۹۳).

این مدل در حال حاضر بیش از ۲۰ مژول تخصصی را دارد که SW و FLOW MODEL FM را نیز شامل می‌شود که هر کدام قابلیت‌های ویژه و کاربردی خاص را دارند. در کل مدول‌های این نرم‌افزار ۴ بخش را در بر می‌گیرد:

- ۱) هیدرولیک محیطی<sup>۱</sup> که هر چیزی را از جابجایی و حرکت طبقات اتمسفری به صورت افقی تحت تأثیر گرما به صورت نرمال و پراکنده‌گی آلاینده‌های محافظه‌کارانه تا کیفت آب شامل واکنش‌های شیمیایی را شبیه‌سازی می‌کند.
  - ۲) هیدرولیک ساحلی و اقیانوس‌شناسی<sup>۲</sup> که شامل مدل‌سازی هیدرولیک جزر و مد، باد، موج‌های به وجود آمده توسط جریان‌ها، امواج طوفانی و امواج سیلان می‌باشد.
  - ۳) امواج، این بخش نیز تلاطم امواج در بندرگاه‌ها، پیش‌بینی‌ها، پارامترهای طراحی موج، تغییر شکل‌های غیرخطی و تکان‌های کشتی را شامل می‌شود که به عنوان ابزاری برای طراحی بندرگاه، سازه‌های ساحلی، کانال‌های کشتیرانی و آزمایش اثر امتداد موج‌شکن‌های جدید کاربرد دارد.
  - ۴) فرآیندهای انتقال رسوب در سواحل<sup>۳</sup>، شامل پژوهش‌های انتقال رسوب جهت کانال‌های کشتی‌رانی، دهانه‌های بندرها، سواحل، اسکله‌ها و ... می‌شود.
- ماژول‌های SW و FLOW MODEL FM از مایک ۲۱ در این پژوهش مورد بررسی قرار گرفتند.

#### • ماژول SW

مدل SW یک مدل ریاضی برای پیش‌بینی امواج می‌باشد که برای تمامی اعمق‌جواب قابل قبولی را ارائه می‌دهد. اساس محاسبه و تعیین مشخصات امواج در مدل‌های ریاضی پیش‌بینی موج از جمله SW حل معادلات پایستگی انرژی طیفی به صورت گسسته در بعد مکانی، زاویه‌ای و بسامدی به منظور لحاظ کردن طبیعت تصادفی امواج دریا، است (طالقانی و گلشنی، ۱۳۹۰).

<sup>۱</sup>Environmental Hydraulics

<sup>۲</sup>Oceanography And Coastal Hydraulics

<sup>۳</sup>Sediment Processes On Coast

## • معادلات حاکم بر مازول SW

مبنای مدل SW برای پیش‌بینی موج، حل معادله انتقال انرژی همراه با ترم‌های چشمی و چاه می‌باشد. شکل معادلات انتقال در حالت دو بعدی به صورت زیر می‌باشد:

$$\frac{\partial E}{\partial t} + \frac{\cos \theta}{C} \frac{\partial (ECC_g)}{\partial X} + \frac{\sin \theta}{C} \frac{\partial (ECC_g)}{\partial y} + \frac{C}{C_g} \left( \sin \theta \frac{\partial C}{\partial X} - \cos \theta \frac{\partial C}{\partial y} \right) \frac{\partial E}{\partial \theta} = S \quad (4-3)$$

در معادلات بالا پارامترها به صورت زیر معرفی می‌گردد:

E: طیف انرژی موج فرکانسی\_جهتی  $x, y$ : مختصات دکارتی در حالت دو بعدی  $t$ : زمان

$\theta$ : جهت انتشار موج  $C_g$ : سرعت گروهی موج  $S$ : عبارت چشمی و چاه

یا منبع

عبارت منبع در سمت راست معادله انتقال موج به صورت زیر تعریف می‌شود:

$$S = S_{in} + S_{nl} + S_{dis} + S_{bot} + S_{surf} \quad (5-3)$$

که در آن  $S_{in}$  عبارت انتقال انرژی از باد به سطح آب،  $S_{nl}$  عبارت انتقال انرژی از یک فرکانس به فرکانس دیگر توسط اندرکنش غیرخطی امواج،  $S_{dis}$  عبارت استهلاک انرژی موج در اثر پدیده سفیدک رأس موج<sup>۱</sup>،  $S_{surf}$  عبارت استهلاک انرژی موج ناشی از شکست در ناحیه کم‌عمق و  $S_{bot}$  عبارت استهلاک موج ناشی از اندرکنش با بستر دریا می‌باشد.

## • مازول FLOW MODEL FM

FLOW MODE FM یک سیستم مدل‌سازی جامع برای مدل‌سازی دو بعدی و سه بعدی توسعه یافته توسط DHI است. این سیستم مدل‌سازی برای عملکردهای مختلف اقیانوس‌ها، مناطق ساحلی و مناطق با اهمیت محیط زیستی همچون خلیج‌ها توسعه یافته است و از زیر برنامه‌های زیر تشکیل شده است.

- ✓ زیر برنامه هیدرودینامیک
- ✓ زیر برنامه نقل و انتقالات دریایی
- ✓ زیر برنامه مدل‌سازی آزمایشگاهی
- ✓ زیر برنامه انتقال گلولای
- ✓ زیر برنامه انتقال ماسه

زیر برنامه هیدرودینامیکی، تغییرات سطح آب و جریان در واکنش به نیروهای مختلف در محیط‌های دریایی را نشان می‌دهد.

---

<sup>1</sup>White Capping

## • معادلات حاکم بر مازول FLOW MODEL FM

مازول FLOW MODEL FM، تغییرات سطح آب و جریان در واکنش به نیروهای مختلف در

محیط های دریایی را نشان می دهد. معادلات این مازول به صورت متداول در حالت سه بعدی بیان می شود ولی معادلات برای جریان دو بعدی، با انتگرال گیری معادلات بر روی اعماق بدست می آید. معادلات بقای جرم و مومنتم به عنوان معادلات حاکم در این مازول می باشد که در معادلات (۶-۳) تا (۸-۳) آورده شده است. در این مازول جهت حل معادلات از روش حجم محدود استفاده شده است.

$$\frac{\partial D}{\partial t} + \frac{\partial D}{\partial X} + \frac{\partial D}{\partial y} = 0 \quad (6-3)$$

$$\begin{aligned} \frac{\partial p}{\partial t} + \frac{\partial}{\partial x} \left( \frac{p^2}{D} \right) + \frac{\partial}{\partial y} \left( \frac{pq}{D} \right) + gD \frac{\partial \zeta}{\partial x} + \frac{gp\sqrt{p^2 + q^2}}{f^2 \times D^2} - \gamma \left[ \frac{\partial^2 p}{\partial^2 x} + \frac{\partial^2 q}{\partial^2 y} \right] - \zeta q \\ - fvV_x + D \frac{\partial}{\partial x} \left[ \frac{Pa}{Pw} \right] = 0 \end{aligned} \quad (7-3)$$

$$\begin{aligned} \frac{\partial q}{\partial t} + \frac{\partial}{\partial y} \left( \frac{q^2}{D} \right) + \frac{\partial}{\partial x} \left( \frac{pq}{D} \right) + gD \frac{\partial \zeta}{\partial y} - \frac{gp\sqrt{p^2 + q^2}}{f^2 \times D^2} - \gamma \left[ \frac{\partial^2 p}{\partial^2 x} + \frac{\partial^2 q}{\partial^2 y} \right] - \zeta q \\ - fvV_y + D \frac{\partial}{\partial y} \left[ \frac{Pa}{Pw} \right] = 0 \end{aligned} \quad (8-3)$$

در معادلات بالا پارامتر ها به صورت زیر معرفی می گردد:

$D$ : عمق آب       $t$  : زمان       $x, y$  : مختصات دکارتی در حالت دو بعدی       $f$  : ضریب اصطکاک باد

$\zeta$ : تغییرات تراز سطح آب       $P_w$  : فشار هوا       $P_a$  : ضریب شزی       $a$ : جرم حجمی آب

$V_x, V_y$ : سرعت متوسط عمقی در جهت های مختلف       $p, q$  : دانسیته شار در جهت های مختلف

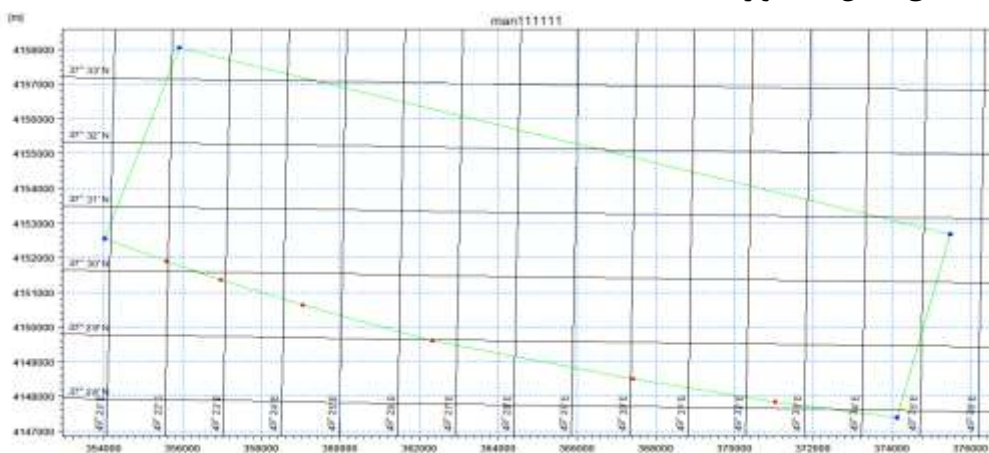
### ۳-۲-۳ داده های ورودی

دقت نتایج مدل سازی ارتباط مستقیمی با دقتهای ورودی مدل دارد یعنی هرچه دقتهای ورودی بیشتر باشد نتایج مدل سازی از اعتبار بیشتری برخوردار است. داده های ورودی در ماژول SW شامل موارد زیر است:

- ✓ مشخصات هندسی سواحل انزلی
- ✓ شرایط مرزی
- ✓ داده های موج
- ✓ داده های باد
- ✓ تنش تشعشعی خروجی ماژول SW

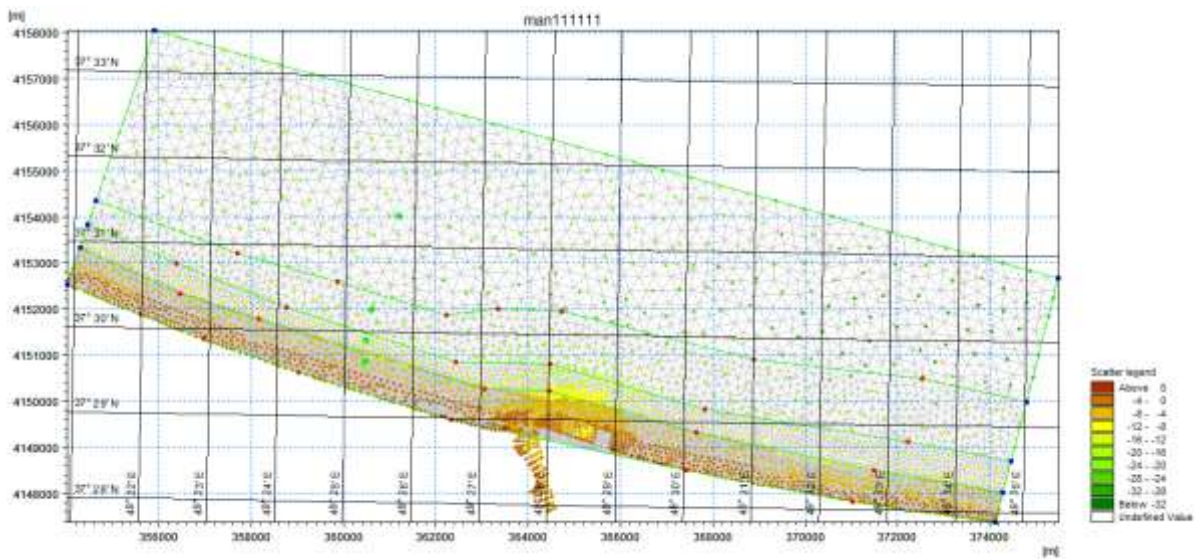
#### • مشخصات هندسی سواحل انزلی

مشخصات هندسی موردنیاز سواحل انزلی برای مدل سازی هیدرودینامیکی شامل اطلاعات مرز و هیدرو گرافی سواحل انزلی می باشد. اطلاعات مرز از تصاویر موجود در GOOGLE EARTH و با به کارگیری زیر برنامه Add path استخراج گردید و با استفاده از نرم افزار GLOBALMAPPER Mesh به صورت dxf to xyz به صورت ورودی به نرم افزار MIKE ZERO زیر برنامه MAPSOURCE Generate مطابق شکل ۲-۳ وارد شد.



شکل ۲-۳- مرز سواحل انزلی.

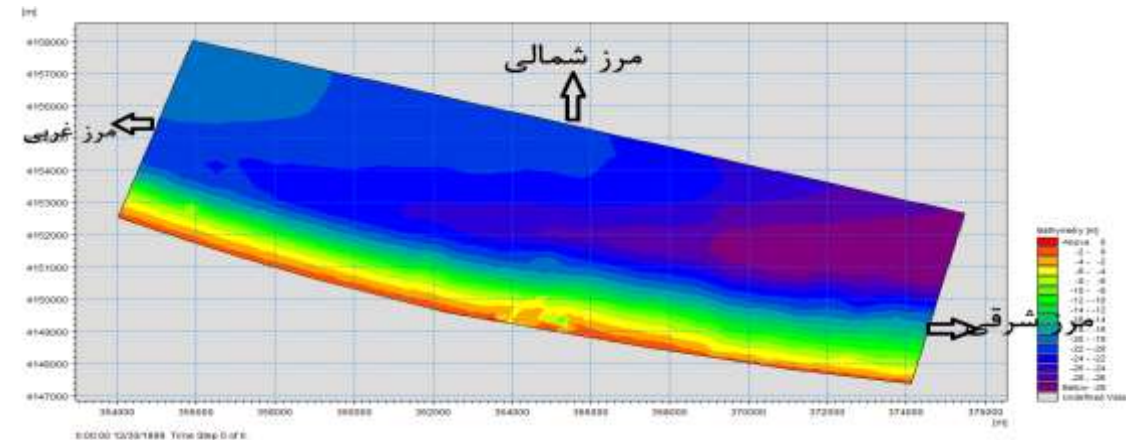
داده های هیدرو گرافی از مرکز ملی مطالعات و تحقیقات دریایی خزر تهیه شد و به صورت وردی به زیر برنامه داده شد. سپس این ناحیه با ابعاد شبکه بندی ۸۰۰، ۲۰۰۰، ۲۴۰۰۰ و ۶۰۰۰۰ متر مربع و به صورت مثلثی به ترتیب از جنوب به شمال مطابق شکل ۳-۳ مش زده شد. هرچه اندازه مش ریزتر باشد دقتهای محاسبات در آن ناحیه بیشتر است به همین علت نواحی نزدیک ساحل که محل تشکیل جریان شکافنده است، مش های ریزتری زده شد. فایل مش برای هر دو ماژول مشابه است، این تشابه سبب بررسی دقیق تر بر روی خروجی ها می شود.



شکل ۳-۳- مش بندی سواحل انزلی.

#### • شرایط مرزی

در شبکه دو نوع مرز تعریف می‌گردد. یکی مرز باز و دیگری مرز بسته. مرز بسته مربوط به ساحل می‌شود و مرز باز مربوط به قسمت‌هایی می‌شود که آب به منطقه مطالعاتی وارد یا از آن خارج می‌شود. در این مطالعه، سه مرز شمالی، شرقی و غربی مطابق شکل ۴-۳ باز و مرز پایینی که در ساحل قرار دارد، بسته تعریف شد. در مازول SW مرز شرقی و غربی به دلیل وجود جریان‌های موازی ساحل در منطقه مطالعاتی ساحل انزلی به صورت LATERAL BOUNDARY تعریف شد تا اثر خروج و یا صرف نظر کردن از جریان موازی ساحل در مدل‌سازی دیده شود. مرز شمالی محل ورودی موج در منطقه مدل‌سازی است که به مدل اعمال گردیده است. در مازول FLOW MODEL FM مرز شرقی و غربی Specified level با سطح آب صفر در نظر گرفته شد تا جریان در محیط رفت‌وبرگشت داشته باشد و از اختلال و بی‌نظمی در محیط مدل شده جلوگیری شود و جریان ناشی از شکست موج که در مدل‌سازی جریان شکافنده مهم است، دیده شود. مرز شمالی (Zero Normal Velocity) Land به علت آنکه جریان ناشی از شکست موج تا عمق ۶۰ متری می‌رسد و قابلیت اینکه به عمق ۲۰ متری بررسد را ندارد، در نظر گرفتیم که این مرز به صورت یک دیوار صاف عمل می‌کند که جریان عرضی دارد ولی جریان عمودی صفر است.



شکل ۴-۳- نمایش مرزهای مدل.

#### • داده های موج

اطلاعات موج شامل ارتفاع، دوره تناوب، جهت متوسط و شاخص استاندارد انحراف موج در مرز باز شمال به عنوان شرط مرزی مدل موردنیاز است. این داده ها نیز پس از دریافت و ساخت سری زمانی به مرز شمالی مازول SW اعمال شد.

#### • داده های باد

باد به عنوان عامل محرك اوليه در ايجاد موج مهمترین داده مورد استفاده در مدل سازی امواج است. اطلاعات باد که شامل سرعت و جهت باد است به صورت یک سری زمانی به نرم افزار داده شده است. داده های باد به دليل وسعت منطقه، علاوه بر ايجاد موج باعث تشدید اثر جريانات در سواحل انژلي می شوند. پس در هر دو مازول FLOW MODEL FM و SW به عنوان ورودی مدل لحاظ می گردد.

#### • تنش تشعشعی خروجی مازول SW

همان طور که در فصل اول ذکر شد تغییرات تنش تشعشعی به صورت مستقیم بر روی جريان شکافنده اثرگذار است، بنابراین برای محاسبات جريان شکافنده نیاز به محاسبه تنش تشعشعی می باشد. برای این کار تنش تشعشعی که خروجی مازول SW می باشد به عنوان ورودی به مازول FLOW MODEL می شود تا سرعت جريان شکافنده به عنوان خروجی اين مازول حاصل شود.

### ۴-۳- ضرایب کالیبراسیون

کالیبراسیون در مدل سازی جهت تعیین شرایطی است که مدل در آن شرایط قادر خواهد بود یک پدیده فیزیکی را شبیه سازی کند. در هر مدل ریاضی ضرایبی وجود دارد که با تغییر آنها خروجی مدل با واقعیت تطبیق بیشتری خواهد داشت. برای تعیین ضرایب کالیبراسیون از کمیت آمارهای ارزیابی درصد خطای میانگین، ضریب همبستگی و میانگین اریبی که طبق روابط ۱-۳، ۲-۳ و ۳-۳ محاسبه می شود، استفاده شد.

$$MAPE = \frac{100}{n} \sum_{i=1}^n \left| \frac{v - vm}{vm} \right| \quad (9-3)$$

$$R = \frac{\sum_{i=1}^n (vm - v^-)(v - v^-)}{\sqrt{\sum_{i=1}^n (vm - v^-)^2 \sum_{i=1}^n (v - v^-)^2}} \quad (10-3)$$

$$MBE = v^- - vm^- \quad (11-3)$$

در معادلات بالا پارامتر ها به صورت زیر معرفی می گردد:

$MBE$ : پارامتر آماری درصد خطای میانگین       $R$ : پارامتر آماری ضریب همبستگی  
 پارامتر آماری میانگین اربی       $v$ : سرعت جريان و سرعت جريان شکافنده به دست آمده از  
 رايشه تجربی  
 $n$ : تعداد داده های ورودی       $vm$ : سرعت جريان به دست آمده از نرم افزار

### ۱-۴-۳ ضرایب کالیبراسیون مازول SW

ضرایب کالیبراسیون مازول SW شامل، ضریب شکست موج<sup>۱</sup>، اصطکاک بستر<sup>۲</sup> و ضریب سفیدک رأس موج است (DHI Software 2007).

- ضریب شکست موج

ضریب شکست موج در مناطق کم عمق و یا در هنگام بررسی پدیده هایی که در مناطق کم عمق رخ می دهند، بسیار مهم هستند و نیاز به بررسی جامع و دقیقی دارند.  $\gamma$  پارامتر شکست است که مقدار آن به شب ساحل و پارامترهای موج وابسته است و مقدار آن از  $0.5$  تا  $1$  تغییر می کند و مقدار اولیه آن  $0.8$  است.

- اصطکاک بستر

وقتی موج از آب عمیق به سمت آب کم عمق حرکت می کند، ذرات به صورت چرخشی به بستر رسید. لذا اصطکاک بستر در این حالت اهمیت بیشتری پیدا می کند.  $K_n$ <sup>۳</sup> ضریب اصطکاک است که مقدار اولیه برای  $K_n = 0.04$  متر است.

- ضرایب سفیدک رأس موج

<sup>۱</sup>Wave Breaking

<sup>۲</sup>Bottom Friction

<sup>۳</sup>Nikuradse Roughness

این ضرایب در مواردی که موج می‌شکند و حباب‌های هوا ظاهر می‌شود، کاربرد دارند که شامل دو ضریب سی دی آی اس<sup>۱</sup> و دلتادیس<sup>۲</sup> می‌باشد؛ که می‌توانند به صورت ثابت و یا متغیر در محدوده مورد مطالعه به مدل داده شود. مقدار اولیه برای ضریب سی دی آی اس ۴.۵ و برای ضریب دلتادیس ۰.۵ است.

### ۲-۴-۳ ضرایب کالیبراسیون مازول FLOW MODEL FM

ضرایب کالیبراسیون مازول FLOW MODEL FM عبارت‌اند از: ضریب ویسکوزیته گردابی<sup>۳</sup>، ضریب مقاومت بستر<sup>۴</sup> و ضریب اصطکاک باد<sup>۵</sup> (MIKE by DHI 2011).

- ضریب ویسکوزیته گردابی

ضریب ویسکوزیته گردابی می‌تواند به صورت ثابت و یا متغیر در محدوده مورد مطالعه به مدل داده شود. حالت ثابت برای موقعی که تنفس افقی است، استفاده می‌شود. مقدار آن از ۰.۲۵ تا ۰.۱ تغییر می‌کند و مقدار اولیه آن ۰.۲۸ است.

- ضریب مقاومت بستر

ضریب مقاومت بستر به عدد مانینگ<sup>۶</sup> وابسته است. عدد مانینگ می‌تواند به صورت ثابت و یا متغیر در محدوده مورد مطالعه به مدل داده شود. مقدار آن از ۲۰ تا ۴۰ ریشه سوم متر بر ثانیه تغییر می‌کند و مقدار اولیه آن ۳۲ ریشه سوم متر بر ثانیه می‌باشد.

- ضریب اصطکاک باد

ضریب اصطکاک باد می‌تواند به صورت ثابت و یا متغیر با سرعت باد به مدل داده شود. در مورد دوم، بین دو مقدار بر اساس سرعت باد و بر اساس حد بالا و حد پایین اصطکاک را درون‌بایی خطی می‌کنیم. مقدار اولیه برای ضریب اصطکاک باد ۱۲۵۵۰۰۰ است.

---

<sup>۱</sup> $C_{dis}$   
<sup>۲</sup> $\Delta A_{dis}$   
<sup>۳</sup>Eddy Viscosity  
<sup>۴</sup>Bed Resistance  
<sup>۵</sup>Wind Friction  
<sup>۶</sup>Manning number

### ۵-۳- خروجی های مدل

خروجی های نرم افزار مایک شامل ۳ نوع فایل با فرمت متفاوت است.

- خروجی نقطه ای که بی بعد است و با پسوند `dfs0` ذخیره می شود

در این حالت داده های خروجی در یک نقطه با مختصات جغرافیایی مشخص استخراج می شوند.

- خروجی خطی که یک بعدی است و با پسوند `dfs1` ذخیره می شود

در این حالت داده های خروجی بر روی خطی با مختصات جغرافیایی مشخص استخراج می شوند که به صورت پیش فرض در دو نقطه ابتدایی و انتهایی خط خروجی نشان داده می شود و برای نشان دادن بیشتر خروجی می توان به تعداد نقاط افزود.

- خروجی محدوده ای که دو بعدی است و با پسوند `dfs2` ذخیره می شود

در این حالت داده های خروجی در محدوده ای با ساختار جغرافیایی منظم یا نامنظم و با مختصات جغرافیایی مشخص استخراج می شوند.

### ۱- خروجی مازول SW

خروجی موردنیاز برای انجام این تحقیق داده های تنفس تشعشعی می باشد که به صورت خروجی محدوده ای از مازول sw گرفته می شود و به عنوان وردي به مازول FLOW MODEL FM داده می شود.

### ۲- خروجی مازول FLOW MODEL FM

خروجی مازول نرم افزار FLOW MODEL FM سرعت جریان می باشد که به صورت محدوده ای و نقطه ای از مازول FLOW MODEL FM گرفته می شود.

### ۳- نحوه استخراج رابطه

هدف از مدل سازی تعیین رابطه سرعت جریان شکافنده در سواحل انزلی می باشد. رابطه سرعت جریان شکافنده به شرح زیر تعیین می شود.

۱- به کمک آنالیز ابعادی پارامترهای موثر بر سرعت جریان شکافنده مشخص می شوند.

۲- رابطه ای برای سرعت جریان شکافنده که در برگیرنده پارامترهای بی بعد موثر باشد ارائه می گردد.

۳- اقدام به مدل سازی در ۵۰۰ گام زمانی و استخراج نتایج و حذف داده های پرت با استفاده از روش های آماری.

۴- ارائه رابطه برای سرعت جريان شکافنده در محیط نرمافزار اکسل، به کمک روش رگرسیون غیرخطی نسبت به تعیین ضرایب ثابت و مجھول رابطه اقدام شد. اين ضرایب به نحوی تعیین میشوند که کمترین درصد خطای میانگین را نسبت به دادههای مدلسازی ایجاد نماید.

درصد خطای میانگین مطابق با رایطه ۹-۳ میباشد. بهمنظور کنترل دقت رابطه پیشنهادی از روش آماری ضریب همبستگی استفاده شد. ضریب همبستگی مطابق با رایطه ۱۰-۳ محاسبه میشود. هرچه مقدار اين ضریب به يك نزديکتر باشد، اعتبار رابطه بهدستآمده بيشتر است.

با استفاده از روش آناليز ابعادی میتوان در بسياري از حالات روابط پيچide را تجزيه و تحليل نمود و بين متغيرهای مختلف آن پدیده روابط صحيحی ایجاد کرد. برای ارائه رابطه سرعت جريان شکانده از آناليز ابعادی استفاده شده است. به اين نحو که ابتدا همه متغيرهای را که در سرعت جريان شکافنده مؤثر هستند انتخاب شده، سپس به کمک تئوري باکينگهاام پaramترهای بی بعد مؤثر را که ترکيبی از متغيرهای اولیه می باشند مشخص کرد. سپس با انجام محاسبات متعدد که با استفاده از SOLVER اکسل و محاسبه ضریب همبستگی انجام میشود، نحوه تأثیر پaramترهای موردنظر در پدیده را موردنظر قرار داده و درنهایت رابطه رياضي که داراي کمترین خطا و بيشترین ضریب همبستگی نسبت به مقادير به دست آمده از نرم افزار را دارد، ارائه نمود.

به طورکلی پaramترهای مهم مؤثر بر روی سرعت جريان شکافنده می توان به شرح زير دسته بندی نمود.

- ۱- خصوصيات مربوط به موج تشکيل شده در منطقه شامل: ارتفاع موج، دوره تناوب موج، جهت موج و سرعت موج که به علت شکل گيري جريان شکافنده در ناحие کم عمق سرعت موج تابعی از عمق دریا می باشد.
- ۲- خصوصيات مربوط به بادی که در منطقه می وزد شامل: سرعت و جهت باد
- ۳- خصوصيات بستر شامل: شيب بستر، تنش برشی کف، اندازه متوسط ذرات رسوب و شکل بستر
- ۴- انرژی جزر و مد که برای بررسی آن ارتفاع جزر و مد مورد بررسی قرار می گيرد.

## ۵- وجود سازه ساحلی

در این مطالعه بخش از عوامل اثرگذار بر سرعت جریان شکافنده مورد بررسی قرار نگرفت، شامل:

۱- بررسی تاثیر وجود سازه ساحلی به علت وجود نداشتن سازه ساحلی در منطقه مورد مطالعه

۲- بررسی تاثیر انرژی جزر و مدی به علت کم بودن ارتفاع جزر و مدی دریای خزر که قابل صرف نظر کردن است.

۳- بررسی تاثیر شیب بستر و اندازه متوسط ذرات رسوب به علت ثابت بودن این مقادیر در منطقه مطالعاتی

۴- بررسی تاثیر تنفس برشی کف به علت آنکه یکی از پارامترهای کالیبراسیون است.

با توجه به مواد فوق سرعت جریان شکافنده به متغیرهای زیر وابسته میگردد:

$$V = f(N, M, L, D, H, T, \alpha, Vw, \delta) \quad (10-3)$$

بطوریکه  $N$  تعداد بار رسوبی،  $M$  عرض کanal شکافنده،  $L$  طول بار رسوبی،  $D$  عمق آب،  $H$  ارتفاع موج،

$T$  دوره تنابض موج،  $\alpha$  زاویه برخوردی موج،  $Vw$  سرعت باد و  $\delta$  زاویه وزش باد است.

پس از انجام آنالیز ابعادی به کمک تئوری باکینگهام، پارامترهای بی بعد مؤثر بر سرعت جریان شکافنده به صورت زیر به دست می آیند:

$$V\left(\frac{T}{L}\right) = f\left(N, \frac{M}{L}, \frac{D}{L}, \frac{H}{L}, Vw \frac{T}{L}, \alpha, \delta\right) \quad (11-3)$$

## فصل ٤ نتائج و بحث

در فصل‌های گذشته اشاره شد که هدف از این پژوهش استخراج رایطه سرعت جریان شکافنده با استفاده از مدل‌سازی عددی می‌باشد. بر همین اساس مجموعه شبیه‌سازی‌هایی با فرض‌های اولیه که در فصل سوم تعریف شد، برنامه‌ریزی گردید و پس از انجام 219 مدل‌سازی عددی، دیتاهای موردنیاز برداشت، گردآوری و پردازش شد و مورد تجزیه و تحلیل قرار گرفت.

فصل چهارم به طور کلی شامل موارد زیر می‌باشد:

#### ۱- نتایج کالیبراسیون مدل

۲- بررسی شکل بستر و وجود کanal شکافی بر سرعت جریان شکافنده

۳- بررسی تأثیر موج بر سرعت جریان شکافنده

۴- بررسی تأثیر باد بر سرعت جریان شکافنده

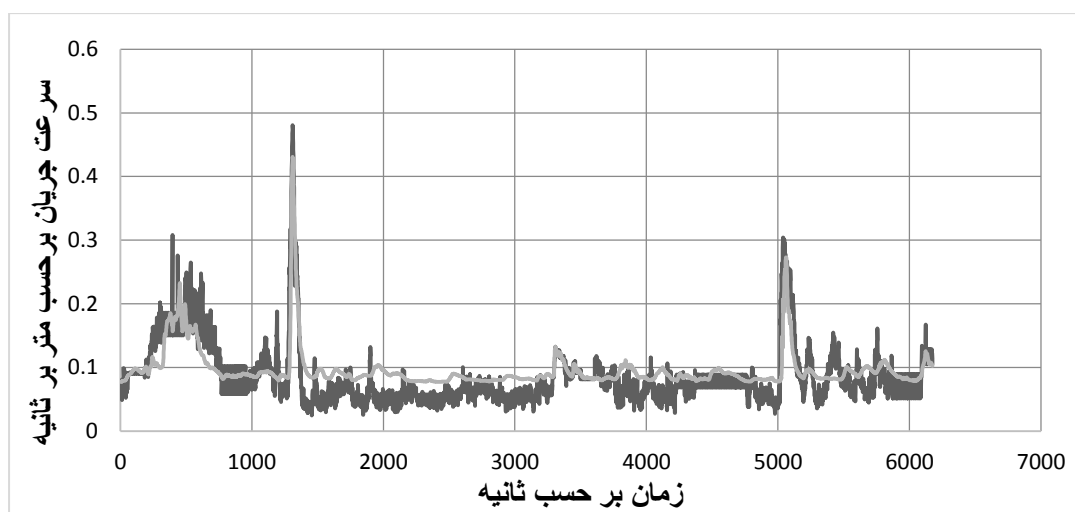
۵- استخراج رایطه سرعت جریان شکافنده

#### ۲-۴ نتایج کالیبراسیون مدل

مدل‌سازی با مقادیر مختلف ضریب شکست موج، اصطکاک بستر، ضریب سفیدک رأس موج، ضریب ویسکوزیته گردابی، ضریب مقاومت بستر و ضریب اصطکاک باد انجام شد و در نهایت با در نظر گرفتن معیارهایی شامل میانگین اربیی(MBE)، ضریب همبستگی(R)، درصد خطای میانگین(MAPE) و انطباق نتایج واقعی و نتایج مدل‌سازی در مرحله کالیبراسیون، ضریب شکست موج بهینه  $0.65$ ، ضریب اصطکاک بستر  $0.02$  متر و ضریب سی دی آیس  $4.5$  و ضریب دلتا دیس  $5.5$ . ضریب ویسکوزیته گردابی  $0.28$ . ضریب مقاومت بستر  $50$  ریشه سوم متر بر ثانیه و ضریب اصطکاک باد  $0.0011$  به دست آمد. در جدول ۱-۴ مقادیر پارامترهای مختلف در شرایط بهینه ارائه شده است. در شکل ۱-۴ مقادیر سرعت جریان حاصل از مدل با مقادیر سرعت جریان برداشت شده توسط بالشتک‌های هوا در ۴۳ روز کالیبراسیون مقایسه شده است.

جدول ۱-۴ - مقادیر پارامترهای مختلف در مرحله کالیبراسیون

پارامتر		MBE	R	MAPE
$\gamma$	۰.۶۵	۰.۰۰۹۹۶۸	۰.۸۲۱۱۴	۳۷
$K_n$	۰.۰۲			
$C_{dis}$	۴.۵			
$DELTA_{dis}$	۰.۵			
Eddy Viscosity	۰.۲۸			
Manning number	۵۰			
Wind Friction	۰.۰۰۱۱			



شکل ۱-۴ - مقایسه سرعت واقعی جریان در ساحل انزلی و سرعت به دست آمده از تحلیل مدل، خط پرنگ نشان

دهنده سرعت واقعی جریان و خط کم رنگ نشان دهنده سرعت به دست آمده از تحلیل مدل

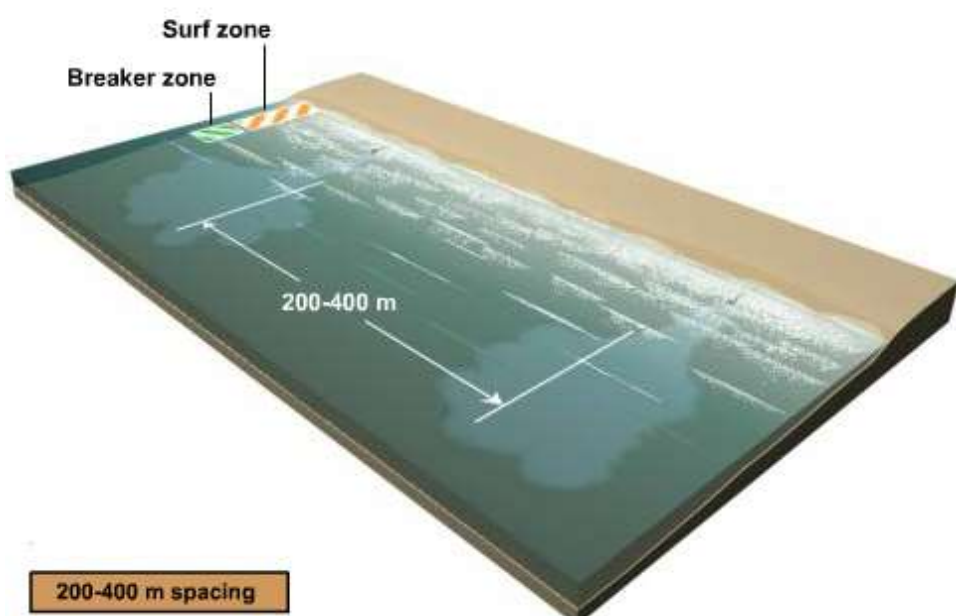
### ۳-۴- بررسی تاثیر شکل بستر و وجود کanal شکافی بر سرعت جریان شکافنده

جهت بررسی شکل بستر و کanal جریان شکافنده بر سرعت جریان شکافنده ۱۲ مدل‌سازی انجام شد. به دلیل دقت پایین اطاعات هیدرو گرافی و ضرورت وجود بار رسوی برای ایجاد جریان شکافنده اقدام به ایجاد بار رسوی در قسمت مرکزی سواحل انزلی شد.

به علت آنکه عرض بار رسوی مطابق شکل ۲-۴ بین ۲۰۰ تا ۴۰۰ متر تغییر می‌کند در ابتدا دو بار رسوی به عرض ۲۰۰ متر، به طول ۶۰ و به فاصله ۱۰ متر از هم قرارداده شد.

مطابق با اطلاعاتی که از سازمان تحقیقات خزر به دست آمد ارتفاع بیشینه امواج ۳.۶ متر که با دوره تناوب ۶.۹ و با زاویه ۱۵۰ درجه در حالتی که بادی با سرعت ۱۲ متر بر ثانیه در جهت ۳۵۰ درجه می‌وزد، است که این داده‌ها به عنوان اطلاعات اولیه به نرم‌افزار داده شد.

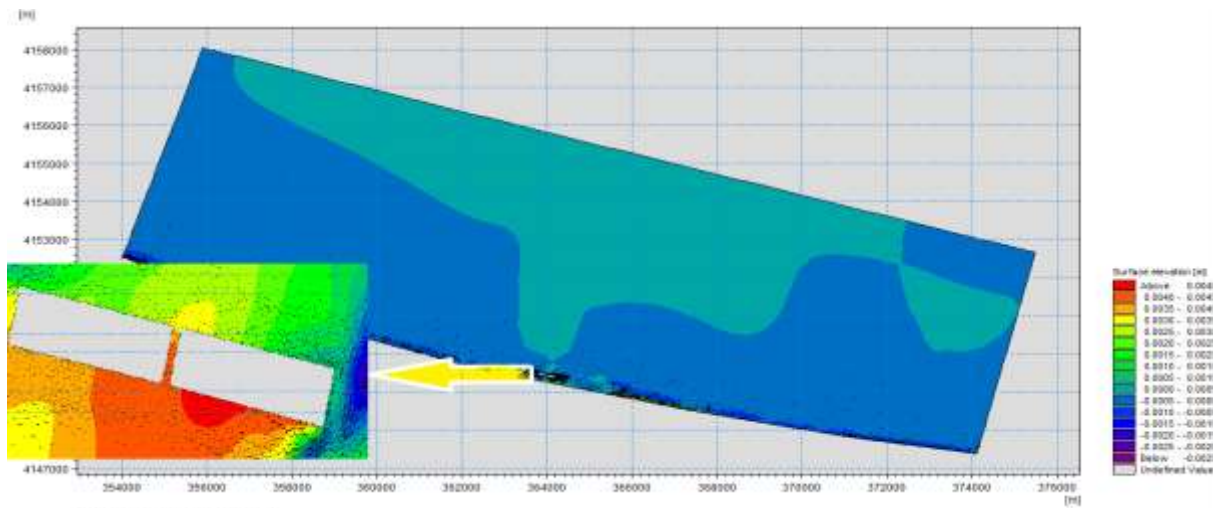
در اولین اقدام برای مدل‌سازی ناحیه داخلی بار رسوی مش‌زده نشد و لزومی به تغییر هیدرو گرافی منطقه دیده نشد، در اقدام دوم ناحیه داخلی بار رسوی مش‌زده شد، بار رسوی را به صورت مرز باز در نظر گرفته شد و در نواحی مرزی و داخلی بار رسوی به نقاط ارتفاع داده شد، نهایتاً در حالت آخر بار رسوی به صورت مرز بسته در نظر گرفته شد.



شکل ۲-۴- نمایش عرض بار رسوی.

#### ۱-۳-۴ ایجاد بار رسوی بدون مش داخلی و تغییر هیدرولوگرافی

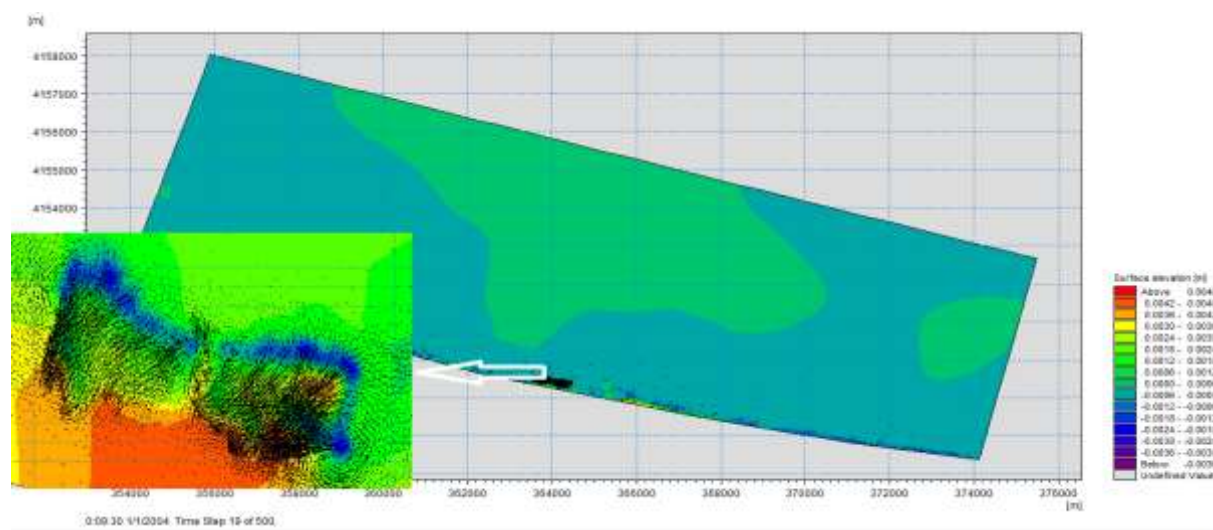
در این حالت بار رسوی به عنوان یک منطقه که جریانی در آن رخ نمی‌دهد دیده شد و این امر همان‌طور که در شکل ۳-۴ دیده می‌شود، باعث ایجاد خطأ و بی‌نظمی در شکل بردارهای جریان می‌شد.



شکل ۳-۴- ایجاد بار رسوی بدون مش داخلی و تغییر هیدرولوگرافی.

#### ۲-۳-۴ ایجاد بار رسوی با مش داخلی و مرز بار رسوی به صورت باز

در مرحله بعدی به منظور نزدیک شدن به حالت واقعی شکل جریان در داخل بار رسوی، مش زده شد تا جریان بر روی بار رسوی ایجاد شود و اختلال و بی‌نظمی در این نواحی کاهش یابد.

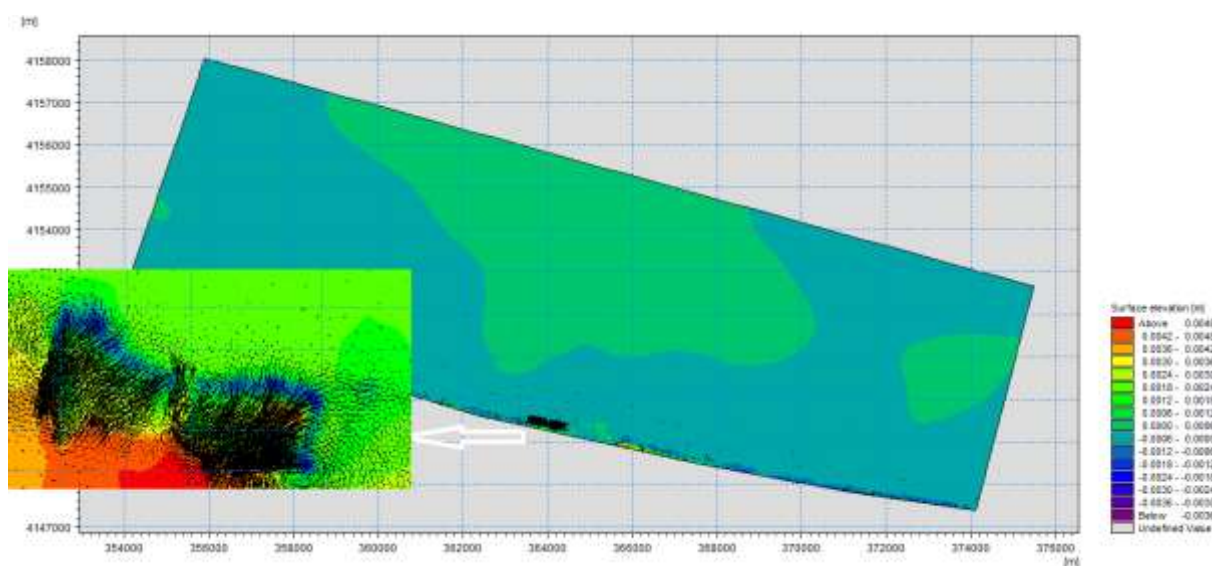


شکل ۴-۴- ایجاد بار رسوی با مش داخلی و در نظر گرفتن مرز بار رسوی به صورت باز.

در این مرحله نرمافزار بار رسوی را به صورت یک مرز خشک در نظر نمی‌گرفت. نواحی که به بار رسوی ارتفاع داده شده بود را خشکی در نظر می‌گرفت و سایر نواحی بار رسوی را با ارتفاعی که در ابتدای شبیه‌سازی به نرمافزار داده شده بود، می‌شناخت که این سبب اختلال و بی‌نظمی در جریان می‌شد.

#### ۴-۳-۴ ایجاد بار رسوی با مش داخلی و مرز بار رسوی به صورت بسته

در مرحله آخر بار رسوی را به عنوان مرز بسته معرفی شد تا در نواحی اطراف و داخل بار رسوی جریان وجود داشته باشد و هم اینکه نرمافزار کل محدوده بار رسوی را به عنوان یک ناحیه با ارتفاع بیشتر از نواحی اطراف خود بشناسد.

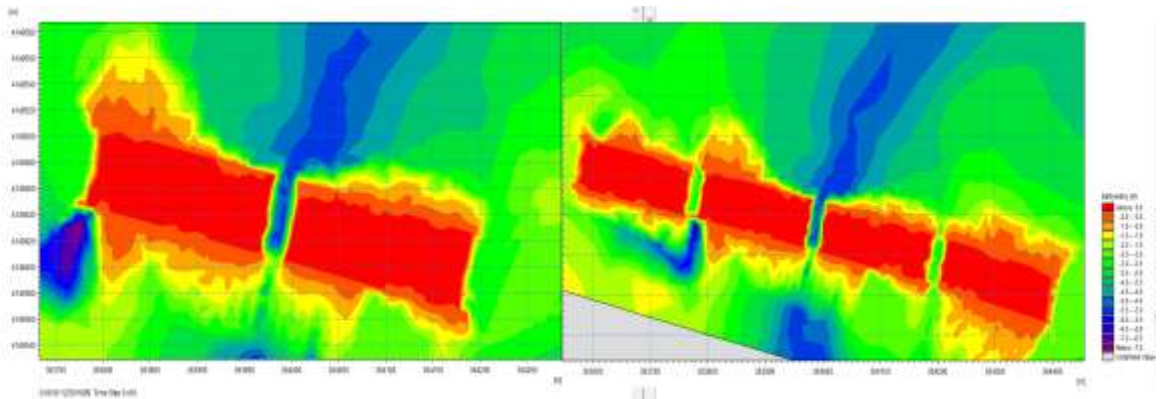


شکل ۴-۵-۴- ایجاد بار رسوی با مش داخلی و در نظر گرفتن مرز رسوی به صورت بسته.

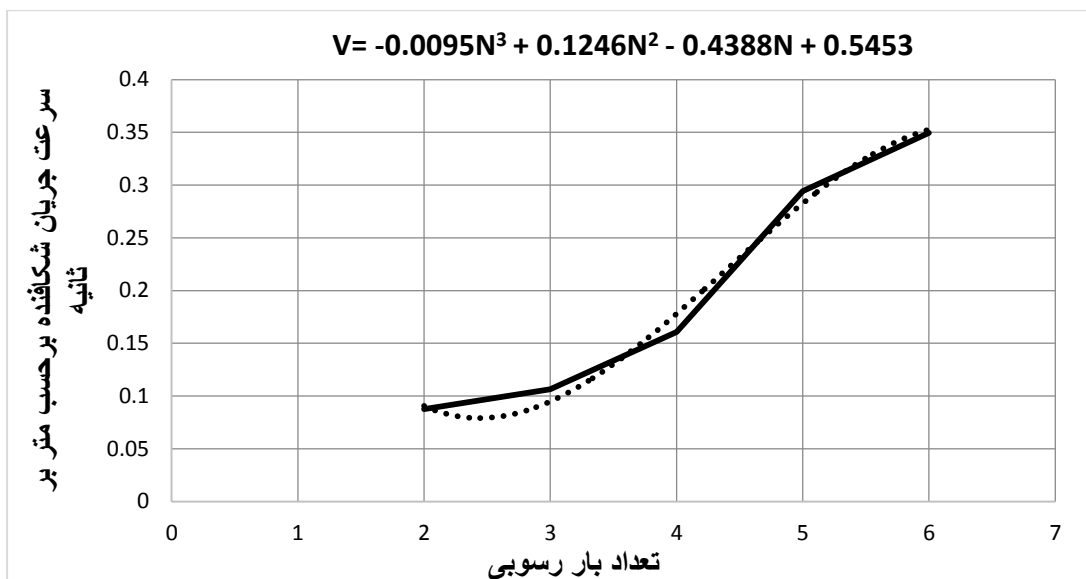
#### ۴-۳-۴ تعداد بار رسوی

یکی از عواملی که ممکن است بر روی سرعت جریان شکافنده اثرگذار باشد تعداد بار رسوی است، به این علت که هرچه تعداد بار رسوی بیشتر باشد تعداد کanal شکافی که به عنوان خروجی جریان بین دو بار رسوی است بیشتر می‌شود.

همان‌طور که در شکل ۶-۴ مشاهده می‌شود، شاهده می‌شود، در این مطالعه با دو، سه، چهار، پنج و شش بار رسوی این موضوع مورد بررسی قرار گرفت که نتایج در شکل ۷-۴ نشان داده شده است.



شکل ۴-۶- بررسی تعداد بار رسویی بر سرعت جریان شکافنده.

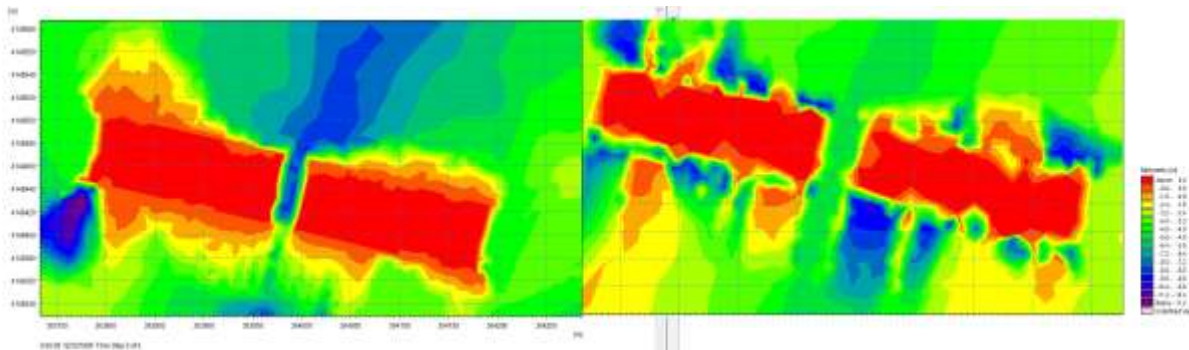


شکل ۴-۷- رابطه بین تعداد بار رسویی و سرعت جریان شکافنده. خط مشکی از برخورد نقاط (تعداد بار رسویی و سرعت جریان شکافنده) و خط چین برازش بر روی خط مشکی که برای محاسبه رایطه لازم است را نشان می‌دهد.

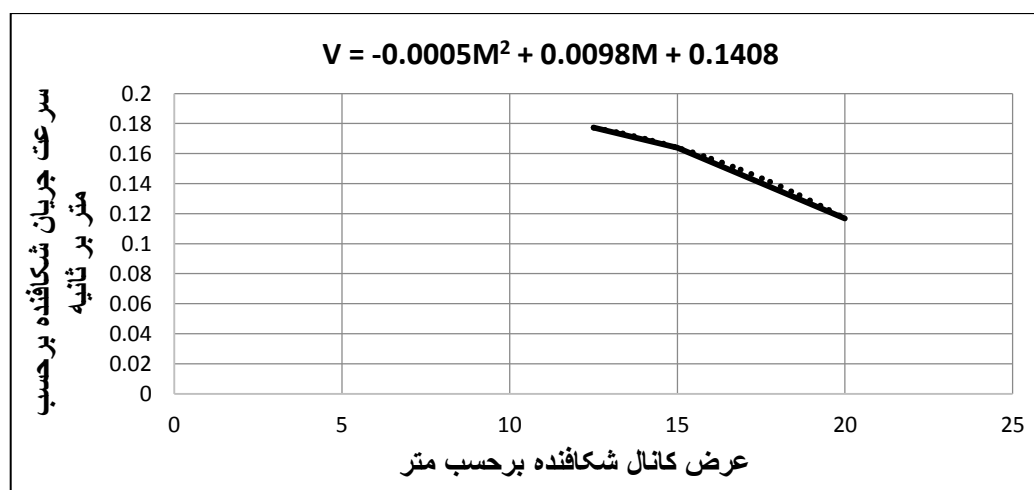
#### ۴-۳-۵ عرض کanal شکافنده

عرض کanal شکافنده که در واقع فاصله بین پشتهدای رسویی و عرض جریان شکافنده می‌باشد به عنوان پارامتر بعدی مورد بررسی قرارگرفت.

در این مطالعه عرض ۱۲.۵، ۱۵ و ۲۰ متر به علت آنکه عرض جریان شکافنده در این محدوده تغییر می‌کند، مطابق شکل ۴-۸ مورد بررسی قرارگرفت که نتایج در شکل ۹-۴ نشان داده شده است.



شکل ۸-۴- بررسی عرض کanal شکافنده بر سرعت جریان شکافنده.

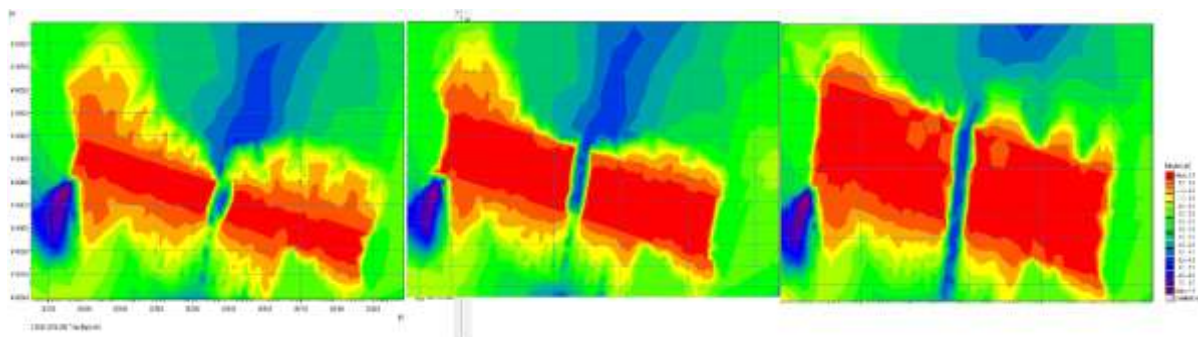


شکل ۹-۴- رابطه بین عرض بار رسویی و سرعت جریان شکافنده. خط مشکی از برخورد نقاط (عرض کanal شکافنده و سرعت جریان شکافنده) و خط چین برآذش بر روی خط مشکی که برای محاسبه رایطه لازم است را نشان می دهد.

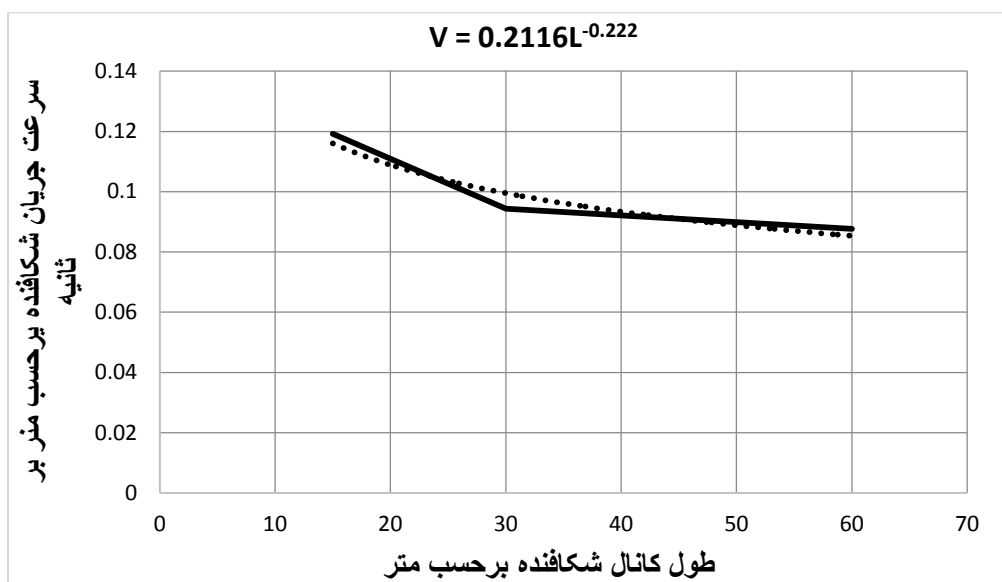
### ۶-۳-۴ طول کanal شکافنده

در بررسی بعدی میزان طول کanal شکافنده و به عبارتی طول پشتلهای رسویی را مورد مطالعه قرار گرفت.

در این مطالعه طول ۱۵، ۳۰ و ۶۰ متر را مطابق شکل ۱۰-۴ مورد بررسی قرار گرفت که نتایج در شکل ۱۱-۴ نشان داده شده است.



شکل ۱۰-۴- بررسی تغییر طول کanal شکافنده بر سرعت جریان شکافنده.



شکل ۱۱-۴- رابطه بین تعداد طول کanal شکافنده و سرعت جریان شکافنده. خط مشکی از برخورد نقاط (طول کanal شکافنده و سرعت جریان شکافنده) و خط چین برآش بر روی خط مشکی که برای محاسبه رایطه لازم است را نشان می‌دهد.

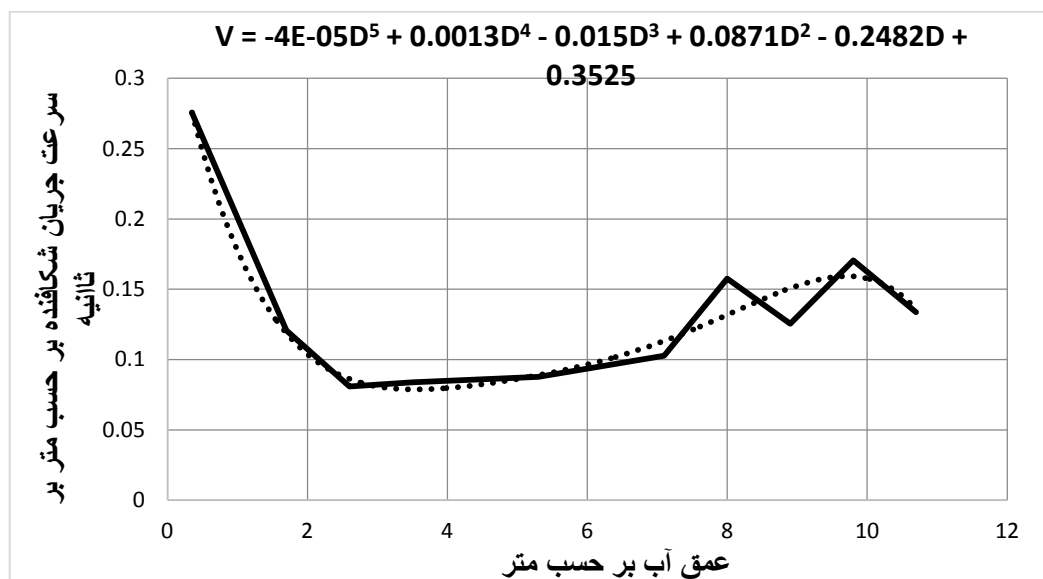
#### ۴-۴- بررسی تاثیر موج بر سرعت جریان شکافنده

پارامترهای موج که بر روی سرعت جریان شکافنده اثرگذار است و در این مطالعه مورد بررسی قرارگرفته است، عبارتند از: عمق آب، جهت ورودی موج، ارتفاع موج، دوره تناوب موج.

##### ۴-۱- عمق آب

جریان شکافنده در ناحیه فعال ساحلی که بیشتر در عمق بین ۵ تا ۱۰ متری است، شکل می‌گیرد، عمق‌های زیر ۵ متر به علت مطالعه و بررسی بیشتر تاثیر عمق بر سرعت جریان شکافنده مورد بررسی

قرار گرفت. بررسی تأثیر عمق‌های ۰.۳۵، ۱.۷، ۳.۵، ۵.۳، ۲.۶، ۸، ۷.۱، ۹.۸، ۸.۹ و ۱۰.۷ بر روی سرعت جریان شکافنده در شکل ۱۲-۴ قابل مشاهده می‌باشد.



شکل ۱۲-۴- رابطه بین عمق آب و سرعت جریان شکافنده. خط مشکی از برخورد نقاط (عمق آب و سرعت جریان شکافنده) و خط چین بازش بر روی خط مشکی که برای محاسبه رایطه لازم است را نشان می‌دهد.

#### ۲-۴-۴ جهت ورودی موج

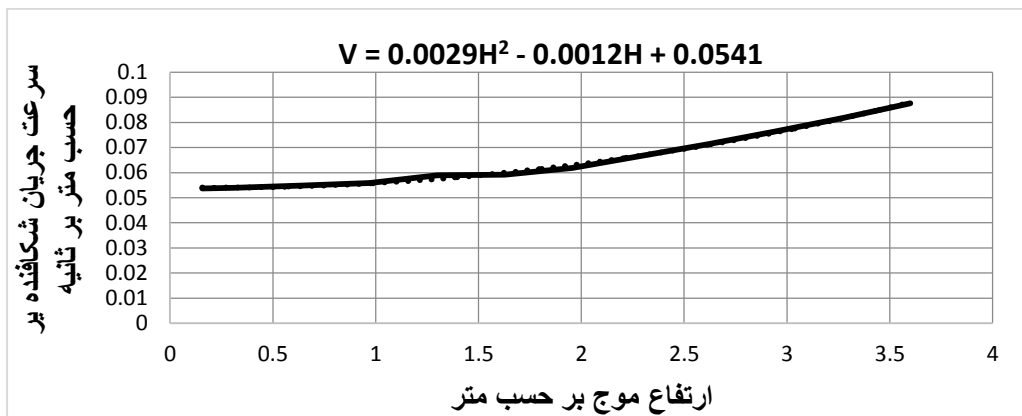
تأثیر جهت ورودی موج بر روی سرعت جریان شکافنده در تمامی زوایای جغرافیایی مورد بررسی قرار گرفت و نتایج در شکل ۱۳-۴ آورده شده است. به علت تأثیر جهت وزیدن باد بر جهت موج اثر باد در این قسمت در نظر گرفته نشد.



شکل ۱۳-۴- رابطه بین جهت برخوردی موج و سرعت جریان شکافنده.

### ۴-۳-۴ ارتفاع موج

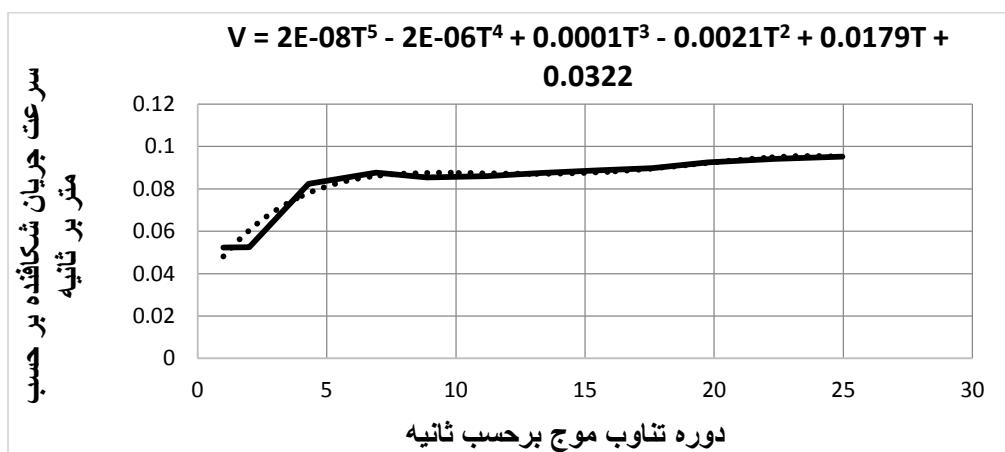
ارتفاع ماکزیمم موج در سواحل انزلی ۳۶ است و کمترین مقدار آن ۰.۱۵۶۲۵ متر است، برای بررسی تأثیر ارتفاع بر روی سرعت جریان میزان ارتفاع در این بازه تغییر داده شد که نتایج به صورت شکل ۱۴-۴ می‌باشد.



شکل ۱۴-۴- رابطه بین ارتفاع موج و سرعت جریان شکافنده. خط مشکی از برخورد نقاط (ارتفاع موج و سرعت جریان شکافنده) و خط چین برآش بر روی خط مشکی که برای محاسبه رایطه لازم است را نشان می‌دهد.

### ۴-۴-۴ دوره تناوب موج

تغییرات دوره تناوب موج در سواحل انزلی بین ۰.۹۹۶۱ تا ۲۴.۹۶۰۹۴ ثانیه می‌باشد که برای بررسی این عامل بر روی سرعت جریان شکافنده، میزان سرعت جریان شکافنده در ۱۲ دوره تناوب که در این محدوده تغییر می‌کنند، مطابق شکل ۱۵-۴ محاسبه شد.



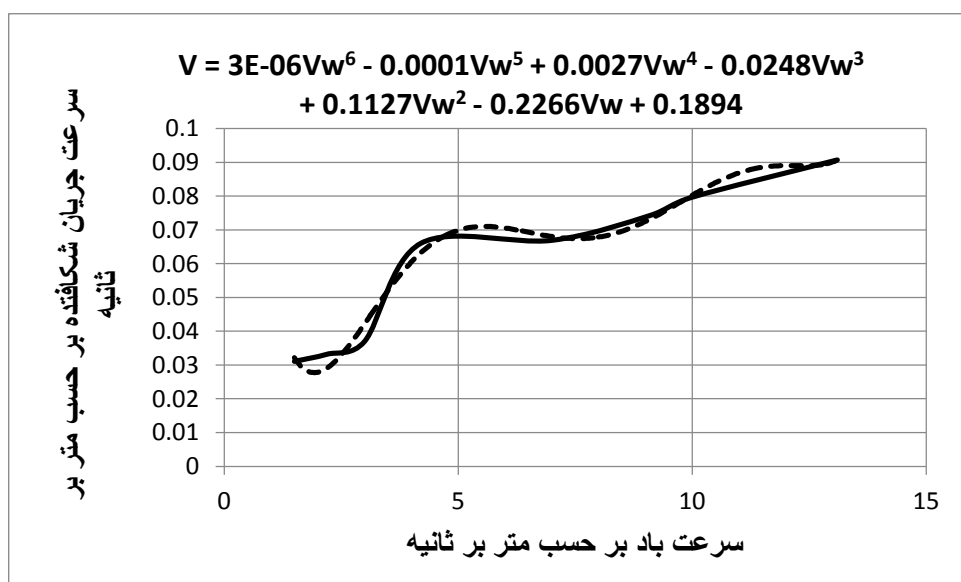
شکل ۱۵-۴- رابطه بین دوره تناوب موج و سرعت جریان شکافنده. خط مشکی از برخورد نقاط (دوره تناوب موج و سرعت جریان شکافنده) و خط چین برآش بر روی خط مشکی که برای محاسبه رایطه لازم است را نشان می‌دهد.

#### ۴-۵- بررسی تاثیر باد بر سرعت جریان شکافنده

بادی که بر فراز سطح آب دریا می‌وزد، باعث ایجاد اصطکاک در میان آب و دریا می‌شود. این پدیده نه تنها باعث ایجاد موج می‌شود، بلکه موجب حرکت آب در مسیر وزش باد می‌شود. از این‌رو به بررسی سرعت و جهت وزش باد بر روی سرعت جریان شکافنده در این تحقیق پرداخته شد.

#### ۴-۵-۱ سرعت باد

سرعت ماکزیمم در سواحل انزلی ۱۳.۱ متر بر ثانیه است و منیم مقدار آن صفر است که به علت طول موجگاه زیاد در سواحل انزلی که سبب تأثیر زیاد باد بر روی جهت و سرعت جریانات دریایی می‌شود. میزان سرعت جریان شکافنده در سرعت‌های ۱۳.۱، ۱۲، ۱۱، ۱۰، ۷ و ۳ متر بر ثانیه و در سرعت ۲.۲ که میانگین سرعت باد سالانه و در سرعت‌های ۹.۱، ۴.۲، ۲.۲، ۱.۵ که در سرعت بیشینه باد در بیشتر ماههای سال در بندر انزلی طبق شکل ۱۶-۴ اندازه‌گیری شد.

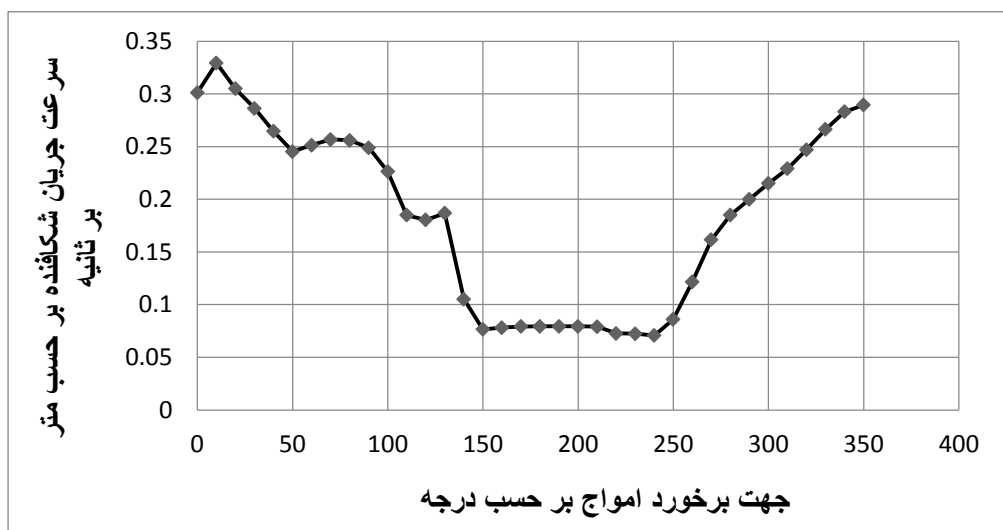


شکل ۱۶-۴- رابطه بین سرعت باد و سرعت جریان شکافنده. خط مشکی از برخورد نقاط (سرعت باد و سرعت جریان شکافنده) و خط چین برآش بر روی خط مشکی که برای محاسبه رایطه لازم است را نشان می‌دهد.

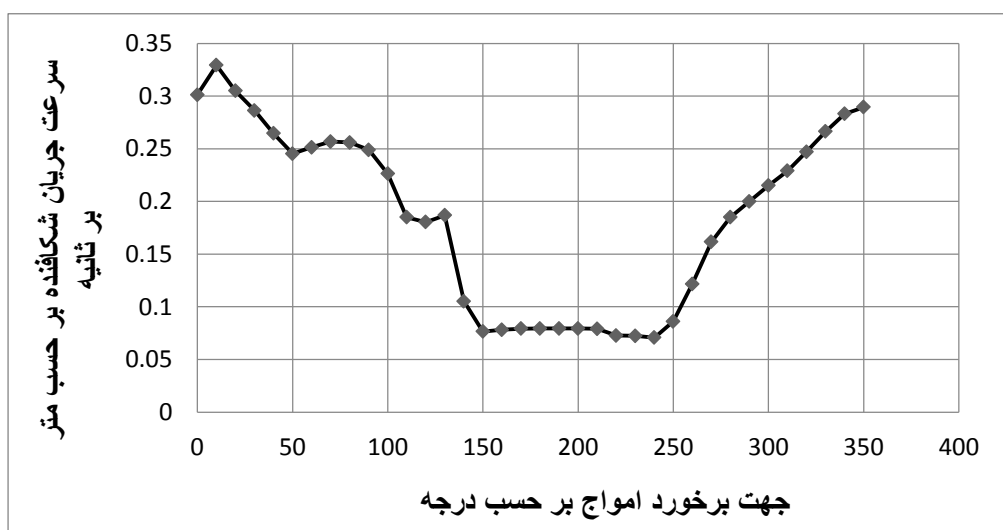
## ۲-۵-۴ جهت باد

جهت باد غالب از لی در ماههای مه، ژوئن، ژوئیه و اوت ۴۵ درجه (شمال شرقی)، در ماههای مارس، آوریل، سپتامبر و اکتبر ۳۶۰ درجه (شمالی) و در ماههای ژانویه، فوریه و نوامبر ۳۱۵ درجه (شمال غربی) و در ماه دسامبر ۲۷۰ درجه (غربی) می‌باشد.

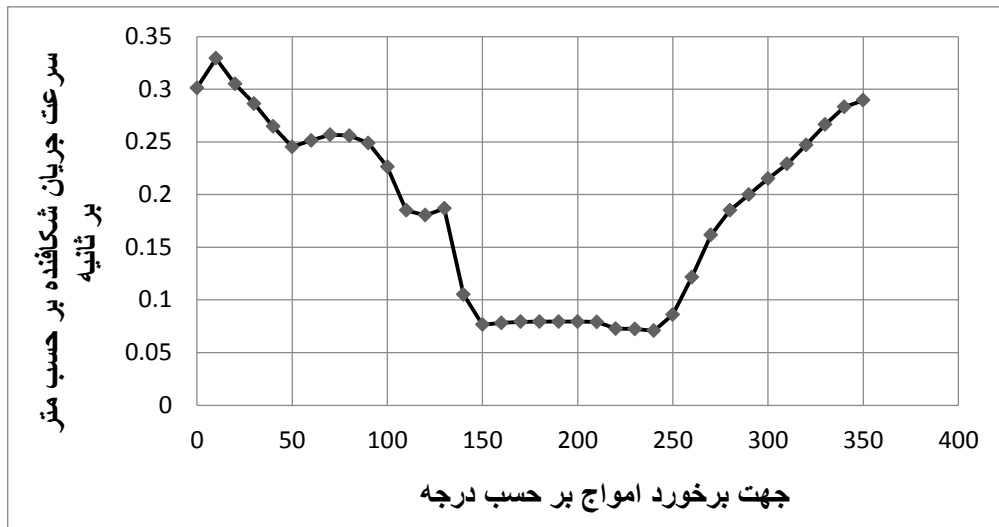
بر همین اساس در این چهار راستا به ازای تمامی جهت‌های جغرافیایی مطابق شکل‌های ۱۷-۴، ۱۸-۴ و ۲۰-۴ سرعت جریان شکافنده محاسبه شد.



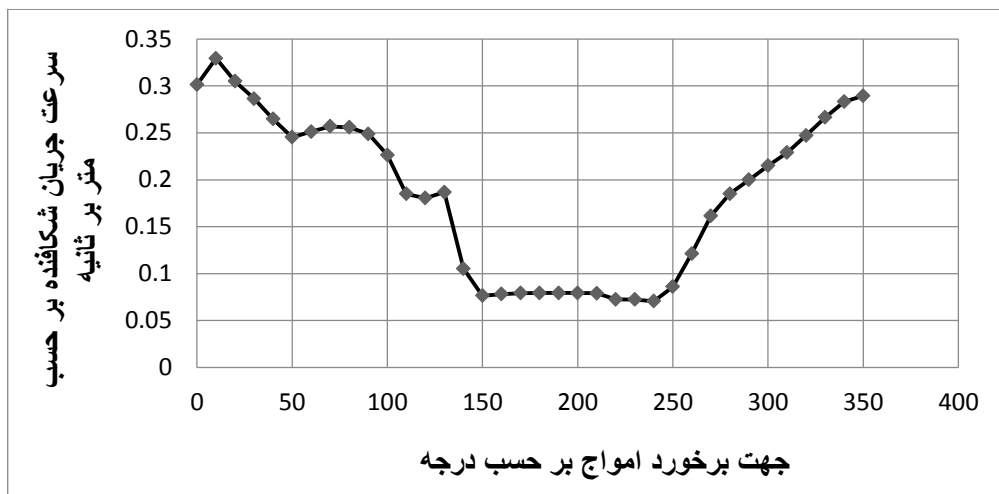
شکل ۱۷-۴ - رابطه بین جهت برخوردی موج و سرعت جریان شکافنده در زاویه صفر درجه.



شکل ۱۸-۴ - رابطه بین جهت برخوردی موج و سرعت جریان شکافنده در زاویه ۴۵ درجه.



شکل ۱۹-۴- رابطه بین جهت پرخوردی موج و سرعت جریان شکافنده در زاویه ۲۷۰ درجه.



شکل ۲۰-۴- رابطه بین جهت پرخوردی موج و سرعت جریان شکافنده در زاویه ۳۱۵ درجه.

#### ۶-۴- استخراج رابطه سرعت جریان شکافنده

در فصل سوم پارامترهای بی بعد شناسایی شد برای استخراج رابطه بین این پارامترهای بی بعد حالت های مختلف (ضرب و جمع کردن پارامترهای بی بعد در هم، تغییر توابع مثلثاتی ) بررسی شد که از میان این رابطه ها، رابطه ۱-۴ کمترین میزان درصد خطأ و بیشترین ضریب همبستگی را دارا بود.

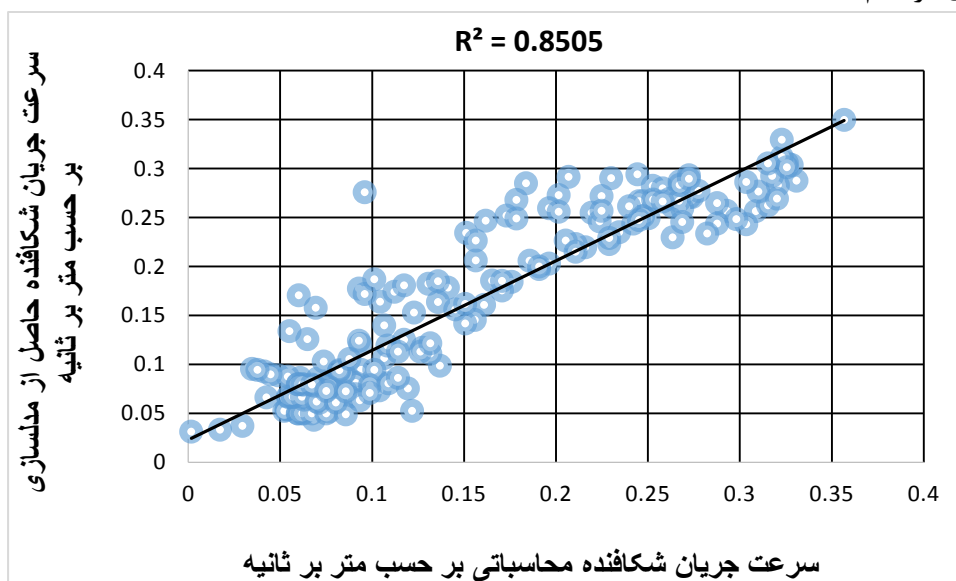
$$V\left(\frac{T}{L}\right) = N(aN + b) + c\left(\frac{M}{L}\right)^d + e \left(\alpha * \frac{D}{L}\right)^W + h \left(\frac{H}{L}\right)^J + m \left(Vw \frac{T}{L}\right)^O + p((\cos \alpha)^2) + q(\cos \alpha) + r((\cos \delta)^2) + u \quad (1-4)$$

که در آن  $u$  ضرایب ثابت و مجھولی هستند که به کمک داده‌های مدل‌سازی و با حداقل سازی درصد خطای میانگین بین سرعت مدل‌سازی و سرعت به دست آمده از معادله در نرم‌افزار اکسل به دست می‌آیند و  $N, M, L, D, H, Vw, T, \alpha, \delta$  به ترتیب عبارتند از: تعداد بار رسوی، عرض کanal شکافنده بر حسب متر، طول بار رسوی بر حسب متر، عمق آب بر حسب متر، ارتفاع موج بر حسب متر، سرعت باد بر حسب متر بر ثانیه، دوره تناوب موج بر حسب ثانیه، زاویه برخوردی موج بر حسب رادیان، زاویه وزش باد بر حسب رادیان.

پس از مشخص شدن مجھولات، رابطه پیشنهادی برای سرعت جریان شکافنده با خطای میانگین ۱۸.۷۱۶ درصد به صورت رابطه ۲-۴ پیشنهاد می‌شود.

$$V = \frac{L}{T} (N (0.0017 N - 0.0055) + 0.0321 \left(\frac{M}{L}\right)^{1.04} - 0.0144 \left(\alpha * \frac{D}{L}\right)^{1.463} + 0.3657 \left(\frac{H}{L}\right)^{1.678} - 0.215 \left(\frac{V}{L}\right)^{3.4016} - 0.0639 \left(Vw \frac{T}{L}\right)^{-0.0659} + 0.00194 (\cos \alpha)^2 + 0.0142 (\cos \alpha) + 0.0012 ((\cos \delta)^2) + 0.079) \quad (2-4)$$

در شکل ۲۱-۴ رابطه بین سرعت جریان شکافنده محاسباتی به سرعت جریان شکافنده حاصل از مدل‌سازی ترسیم شده است.



شکل ۲۱-۴- رابطه بین سرعت جریان شکافنده محاسباتی و سرعت جریان شکافنده حاصل از مدل‌سازی عددی.

با توجه به شکل(۲۱-۴)، ملاحظه می‌شود که سرعت جریان شکافنده محاسباتی در مقایسه با سرعت جریان شکافنده حاصل از مدل‌سازی اختلاف جزئی داشته و ضریب رگرسیون نمودار سرعت جریان شکافنده برابر  $5.85 \cdot 10^0$  و نزدیک به یک می‌باشد.

## فصل ۵ نتیجه‌گیری و پیشنهادها

## ۱-۵ مقدمه

در این فصل با توجه به نتایج ارائه شده در فصل قبل، به بیان نتایج به دست آمده از این پژوهش جهت بررسی عوامل مؤثر بر روی سرعت جریان شکافنده پرداخته می شود. از آنجایی که هدف از انجام این پژوهش بررسی عددی سرعت جریان شکافنده است در این بخش نیز ابتدا به نتایج حاصل از مدل سازی عددی پرداخته و سپس به بررسی رایطه به دست آمده از نرم افزار اکسل پرداخته می شود.

## ۲-۵ نتایج حاصل از مدل سازی در نرم افزار MIKE 21

در مدل سازی با این نرم افزار نتایج زیر حاصل شد.

- با افزایش تعداد بار رسوبی در منطقه مورد مطالعه سرعت جریان شکافنده

$$V = -0.0095N^3 + 0.1246N^2 - 0.4388N + \text{طبق رابطه} 0.5453 \text{ افزایش می یابد.}$$

- با افزایش عرض کanal شکافنده طبق رابطه  $V = -0.0005M^2 + 0.0098M + 0.1408$  سرعت

جریان شکافنده کاهش می یابد.

- با افزایش طول کanal شکافنده طبق رابطه  $V = 0.2116L^{-0.222}$  سرعت جریان شکافنده

افزایش می یابد.

- با افزایش عمق آب طبق رابطه  $V = -4E-05D^5 + 0.0013D^4 - 0.015D^3 + 0.0871D^2 - 0.2482D + 0.3525$  سرعت جریان شکافنده کاهش می یابد.

- بیشترین میزان سرعت جریان شکافنده هنگامی رخ می دهد که موج با زاویه ۱۰ درجه به ساحل برخورد می کند که در این حالت با توجه به ساحل انزلی، موج عمود بر ساحل است.

- با افزایش ارتفاع موج، سرعت جریان شکافنده طبق رابطه  $V = 0.0029H^2 - 0.0012H + 0.0541$  افزایش می یابد.

- با افزایش دوره تناب و موج سرعت جریان شکافنده طبق رابطه  $V=2E-08T^5 - 2E-06T^4 + 0.0001T^3 - 0.0021T^2 + 0.0179T + 0.0322$  می‌یابد که این نتیجه گیری با تحقیقات سنو و همکارانش در سال ۱۹۷۲، بومن در سال ۱۹۸۸، لانگ و هالر در سال ۲۰۰۵، Florida division of emergency National Oceanic and Atmospheric Administration و management همخوانی دارد.

- سرعت باد طبق رابطه  $V = 3E-06Vw^6 - 0.0001Vw^5 + 0.0027Vw^4 - 0.0248Vw^3 + 0.1127Vw^2 - 0.2266Vw + 0.1894$  تأثیر مستقیمی بر سرعت جریان شکافنده می‌گذارد.
- جهت وزش باد طبق شکل‌های ۱۷-۴، ۱۸-۴، ۱۹-۴ و ۲۰-۴ بر سرعت جریان شکافنده اثرگذار است. سرعت بیشینه جریان شکافنده زمانی رخ می‌دهد که باد با زاویه صفر درجه می‌وزد و موج با زاویه ۱۰ درجه به ساحل برخورد می‌کند.

### ۳-۵- بررسی رابطه سرعت جریان شکافنده

- رابطه پیشنهادی برای سرعت جریان شکافنده به صورت رابطه ۲-۴ می‌باشد.
- مقدار درصد میانگین خطا ۱۸.۷۱۶ می‌باشد، که در محدوده کم و قابل قبولی قرار دارد که نشان‌دهنده دقیق مناسب رابطه پیشنهادی می‌باشد.
  - مقدار ضریب همبستگی ۰.۸۵۰۵ می‌باشد، که این نشان‌دهنده اختلاف جزئی سرعت جریان شکافنده به دست آمده از رابطه و سرعت جریان شکافنده به دست آمده از مدل‌سازی عددی می‌باشد.

### ۴-۵- پیشنهادها برای مطالعات آتی

- پیشنهادهایی که برای ادامه در پژوهش‌های آینده مطرح می‌گردد عبارتند از:
- برداشت میدانی داده‌های سرعت جریان شکافنده و مقایسه داده‌های مدل‌سازی با این داده‌ها برای افزایش دقیق رابطه پیشنهادی
  - بررسی تأثیر انرژی امواج دورا بر سرعت جریان شکافنده

- بررسی تأثیر سازه‌های ساحلی بر روی سرعت جریان شکافنده
- بررسی و رابطه کردن سرعت جریان شکافنده در سایر سواحل

# **منابع و مراجع**

## ❖ مراجع فارسی

پورتال پژوهشگاه ملی اقیانوس شناسی و علوم جوی، "جريان شکافنده"،

<http://www.inio.ac.ir/Default.aspx?tabid=1267>

پورتال پژوهشگاه ملی اقیانوس شناسی و علوم جوی، "مخاطرات جریان های دریایی و ساحلی"،

<http://www.inio.ac.ir/Default.aspx?tabid=2021>

پورعلی س، رضایی و، (۱۳۹۱)، "علت اصلی مرگ در سواحل دریای خزر"، *فصلنامه دانش انتظامی*

مازندران، شماره ۱۰، دوره سوم پاییز، صفحه ۷۹ تا ۹۵.

شوشتاری زاده ناصری ع، توکلی م، (۱۳۸۸)، "جريان شکافنده؛ شناخت چالش ها و راهکارها"،

*ماهنشامه بندر و دریا، شماره ۲۰۳*.

طلالقانی م، گلشنی ع، (۱۳۹۰)، "بررسی اقلیم موج در بندر امیرآباد با اجرای مدل محلی Mike21-

Sw و روش های نیمه تجربی"، *مجله فیزیک زمین و فضا، شماره ۲۳، دوره ۳۷*، صفحه ۱۹۳ تا ۲۱۰.

غلامی ز، چگینی و، لاری ک، (۱۳۸۸)، "پنهانه بندی جریانهای شکافنده در سواحل غرب گیلان"،

یازدهمین همایش ملی صنایع دریایی ایران، جزیره کیش، انجمن مهندسی دریایی ایران، کد COI

مقاله: NSMII1\_164

وب سایت رسمی روزنامه خزر، (۱۳۹۴)، "موج های شکافنده در ساحل بندر انزلی"، شماره ۳۷۳۶

دوره اول تابستان.

ولی پور آ، چگینی و، ترابی آزاد م، (۱۳۸۵)، "واکنشهای مختلف خط ساحلی استان مازندران در

مقابل امواج ناشی از باد"، *مجله علوم و فنون دریایی ایران، شماره ۱-۲، دوره ۵*، صفحه ۷۵ تا ۸۸.

ولی پور آ، کرمی خانیکی ع، علی اکبر بیدختی ع، چگینی و (۱۳۹۰)، "مطالعه و بررسی انواع جریان

های برگشتی در سواحل استان مازندران از طریق محاسبه شدت نیروی واداشت"، سیزدهمین

همایش ملی صنایع دریایی ایران، جزیره کیش، انجمن مهندسی دریایی ایران، کد COI مقاله:

NSMII13\_049

یثوبی ح، (۱۳۸۸)، پایان نامه ارشد: "جريان شکافنده"، دانشکده عمران، دانشگاه شهید باهنر کرمان.

## ❖ مراجع انگلیسی

- Bowen A.J. & Inman D.L. (1969) " Rip currents: 2. Laboratory and field Observations", J. Geophys. Res. 74, 5479– 5490.
- Bowman D., Rosen D.S., Kit E., Arad D. & Slavicz A. (1988b) "Flow characteristics at the rip current neck under low-energy conditions", Mar.Geol, 79, 41–54.
- Bruneau N., Bonneton P., Castelle B. & Pedreros R. (2011) " Modeling rip current circulations and vorticity in a high-energy mesotidal-macrotidal environment", J. Geophys. Res. – Oceans 116. <http://dx.doi.org/10.1029/2010JC006693>.
- Bruneau N., Castelle B., Bonneton P., PedrerosR., Almar R., Bonneton N., Bretel P., aristot J. & Sénéchal N. (2009) " Field observations of an evolving rip current on a meso-macrotidal well-developed inner bar and rip morphology" ,Cont. Shelf Res. 29, 1650–1662. <http://dx.doi.org/10.1016/j.csr.2009.05.005>.
- Bown A. J. (1969), " Rip currents, 1. Theoretical investigations" Journal of Geophysical Research, 74 (23), 5467–5478.
- Castelle B. & Ruessink B. G. (2011), " Modeling formation and subsequent nonlinear evolution of rip channels: time varying versus time-invariant wave forcing ", Jornal of Geophysical Research, 116, F04008, doi: 10.1029/2011jf001997.
- Cooke D. O. (1970), " The occurrence and geologic work of rip currents off Southern California " , Mar. Geol. 9, 173-186.
- CUMMINS J.R. (2006), A THESIS PRESENTED TO THE GRADUATE SCHOOL OF THE UNIVERSITY OF FLORIDA IN PARTIAL FULFILLMENT OF THE REQUIREMENTS FOR THE DEGREE OF MASTER OF SCIENCE: " IMPROVING RIP CURRENT FORECASTING TECHNIQUES FOR THE EAST COAST OF FLORIDA", UNIVERSITY OF FLORIDA.
- Dean R. G. (2003), "Coastal processes with engineering application", pp 109-112.
- DHI Software (2007), Mike 21 Sw, Spectral Waves FM Module User Guide.
- Durbarbier B. & CastelleB.(2011), "Numerical modeling investigation of the influence oftideonthe formation and subsequent non lineare volution of rip channels", JournalofCoastalResearch,SpecialIssue64,1018–1022.
- Dusek G. & Seim H. (2013), " Rip current intensity estimates from lifeguard observations", Journal of Coastal Research, 29 (3), 505–518.

Engle J., MacMahan J., Thieke R. J., Hanes D. M. & Dean R. G. (2002) " Formulation of a rip current predictive index using rescue data", Proc. National Conference on each Preservation Technology, Biloxi, MS, Florida Shore and Beach Preservation ssociation. [Available online at <http://ripcurrents.noaa.gov/resources/Engle2002.pdf>].

Floridea division of emergency Management National Occeanic and Atmospheric Administration.

Ghorbani A. & Rasulyjamnany A. H. (2012), " The modeling of rip channel in creation of rip currents ", Indian Journal of Science and Technology, Vol 5, No. 4, ISSN: 0974- 6846.

Haller H. O. & Long J. W. (2005), "offshore controls on nearshore rip currents", JOURNAL OF GEOPHYSICAL RESEARCH, VOL. 110, C12007, doi:10.1029/2005JC003018.

Huntley D.A., Hendry M.D., HainesJ. & Greenidge B. (1988) " Waves and rip currents on a Caribbean pocket beach", Jamaica. J. Coast. Res. 4, 69– 79.

Huntley D.A., Short A.D. (1992) " On the spacing between observed rip Currents", Coast. Eng. 17 (23), 211– 225.

Komar P. D. (1971), " Nearshore cell circulation of the formation of giant cusps Geol " Soc, Amer, Bull. 82, 2643-2650.

Lascody R. L. (1998), " East central Florida rip current program" National Weather Digest, 22 (2), 25–30.

Lascody R.L. (1998) "East central Florida rip current program. NationalWeather Service" In-house Report, p. 10.

Luschine, J.B.(1991) " A study of rip current drownings and weather related Factors", Natl. Weather Dig., 13–19.

MacMahan J. H., Thornton E. B. & Reniers H. M. (2006), " Limits to Growth: the 30 year update ", White River Junction, Vermont: Chelsea Green Publishing co.

Meadows D. H., Randers J. & Meadows D. L. (2004), " Rip current review ", Coastal Engineering 53 (2006) 191 – 208.

Mike by DHI (2011), Mike 21 Flow model, Hydrodynamic Module user Guide.

National Occeanic and Atmospheric Administration,

[http://webcache.googleusercontent.com/search?q=cache:s7afFOdV88QJ:www.ripcurrents.noaa.gov/resources/Final%2520Talking%2520Points%2520and%2520Fact%2520Sheet\\_041707.pdf+&cd=1&hl=en&ct=clnk&gl=ir](http://webcache.googleusercontent.com/search?q=cache:s7afFOdV88QJ:www.ripcurrents.noaa.gov/resources/Final%2520Talking%2520Points%2520and%2520Fact%2520Sheet_041707.pdf+&cd=1&hl=en&ct=clnk&gl=ir)

- Reinhart B. J. & Pfaff S. (2016), " Wave Analysis for Rip Current Forecasting in Southeast North Carolina ", Eastern Region Technical Attachment, No. 2016-01.
- Shafiei Sabet B. & Barani Gh. A. (2011), " Field investigation of rip currents along the southern coast of the Caspian sea ", Scientia Iranica A (2011) 18 (4), 878–884.
- Shepard F.P., Emery K.O. & La Fond E.C.(1941) " Rip currents: a process of geological importance", Journal Geol. 49, 337–369.
- Shepard F.P., Inman D.L. (1950)" Nearshore water circulation related to bottom topography and refraction", Trans. Am. Geophys. Union 31, 196– 212.
- Short A.D. (1999), " Handbook of Beach and shorefac Morphodynamics" Johnwiley and sons, pp 379.
- Short A.D. & Hogan, C.L.(1994),"Rip currents and beach hazards, their impact on public safety and implications for coastal management. In: Finkl, C.W. (Ed.)", Coastal Hazards, Journal of Coastal Research, Special Issue, vol. 12, pp. 197– 209.
- Sonu C. J. (1972), " Field observation of nearshore circulation and meandering currents" Journal of Geophysical Research, 77 (18), 3232–3247.
- Svendsen, I.A., Haas, K.A., Zhao, Q. (2000) " Analysis of rip current systems", In: Edge, B.L. (Ed.), Coastal Engineering, Proceedings of 27th International Conference. Am. Soc. Civ. Eng., New York, pp. 1127– 1140.
- Thornton1 E.B., MacMahan J. & Sallenger Jr A.H. (2006), "Rip Currents, Mega-Cusps, and Eroding Dunes", Submitted to Marine Geology.
- Trenhaile A. S. (1997), "Coastal Dynamic and landforms", pp 85-116.
- Uchiyama Y., Kaida H. & Miyazaki D. (2013), " WAVE-CURRENT INTERACTION IN FORMATION OF RIP CHANNEL SYSTEM ", Proceedings of the 7th International Conference on Asian and Pacific Coasts.
- United States Army. (2002), " Coastal Engineering manual " EM 1110-2-1100,part1.
- Valipour A., karami Khaniki A. & Bidokhti A. A. (2012), " WAVE-CURRENT INTERACTION IN FORMATION OF RIP CHANNEL SYSTEM ", National Conference of air flow and pollution, Tehran, November 14-15.

## **Abstract**

Sea waves usually pass large amount of water toward the beach. This amount of water must come back toward the sea again, And for this purpose, In some areas of the beach, unpredictably, Sea water make waterways to the sea Where water flows With great speed against the waves (ie, from the beach to the sea). this flows are completely different from the sea waves this kind of waves call coastal currents, rip currents or deadly currents which is caused by different reasons but the same property in all cases is wave breaking and moving it toward the sea from the point where the water level is higher to the point where a lower height until reach to balanced level. In this study effecting factors of rip current and power has been investigated in order to slow down the rip current. Rip current is dependent of wind characteristics, wave bed and tidal energy. Mike 21 software modules Spectral Waves Fm (SW) and Flow Model Fm (FM) was used to investigate the factors listed in Anzali coast and it was found that the rip current velocity is directly related with wave height, wave period, wind speed, the number of sediment bar and length rip channel and has reverse relation with width rip channel and water depth. To ensure that the results of the software are correct the results have been compared with the results of the air cushion in the depth of 10.5 m Bandar Anzali And it have been proved that the results were correct.

**Keywords:** coastal currents, rip current, factors affecting, Mike 21, module SW, module FM, the air cushion.





**Shahrood University of Technology**

**Faculty of Civil Engineering  
MSC Thesis in civil Engineering Marine Structures Engineering**

**Numerical Study on Effective Parameters Coastal Rip current  
(Case Study: Anzali Coast)**

**By: Leyla Hemati**

**Supervisors:  
DR. Mahdi Adjami**

**Advisor:  
Eng. Meysam Bali**

**July 2016**